

CoVID-19. Иммунопатогенез и иммунопатология

д.м.н. Топтыгина А.П. Кафедра иммунологии биологического факультета МГУ





Тропизм коронавирусов и продолжительность иммунитета к ним

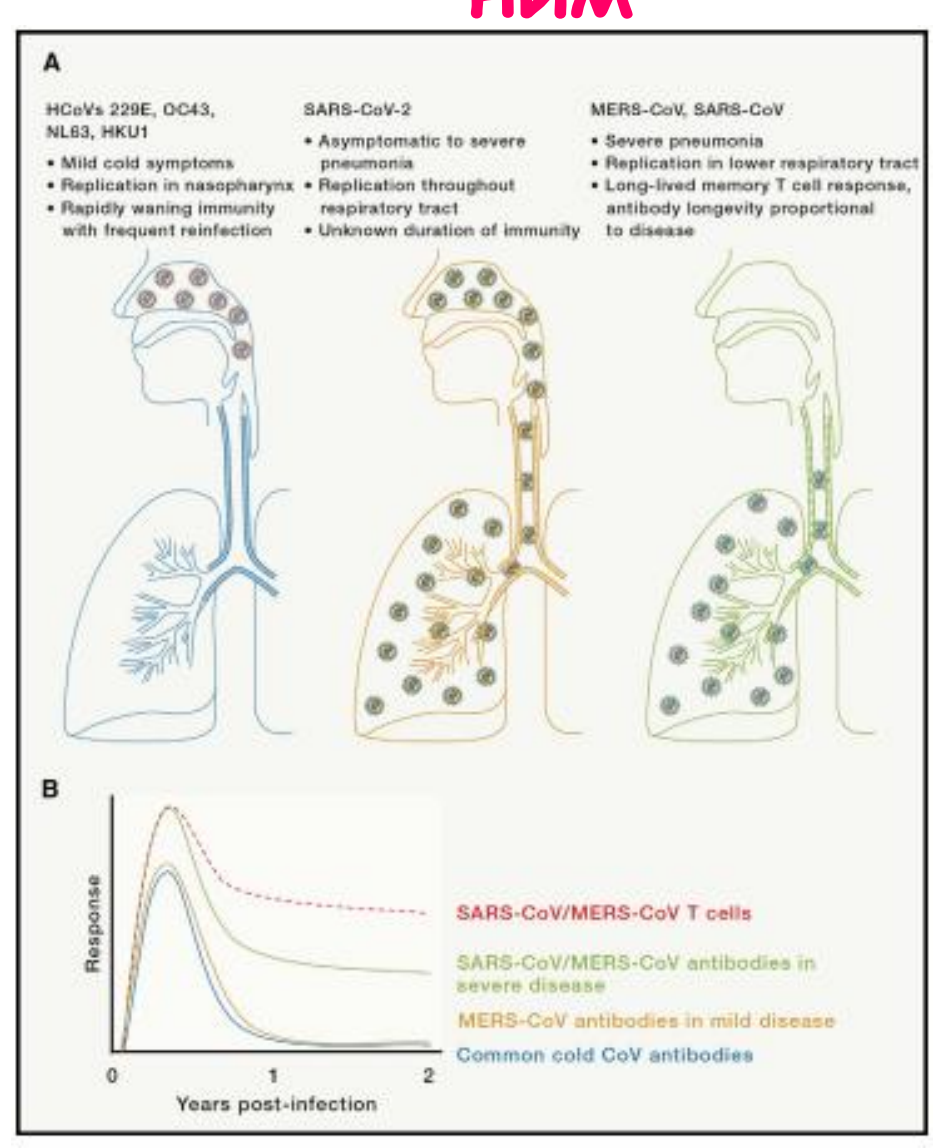
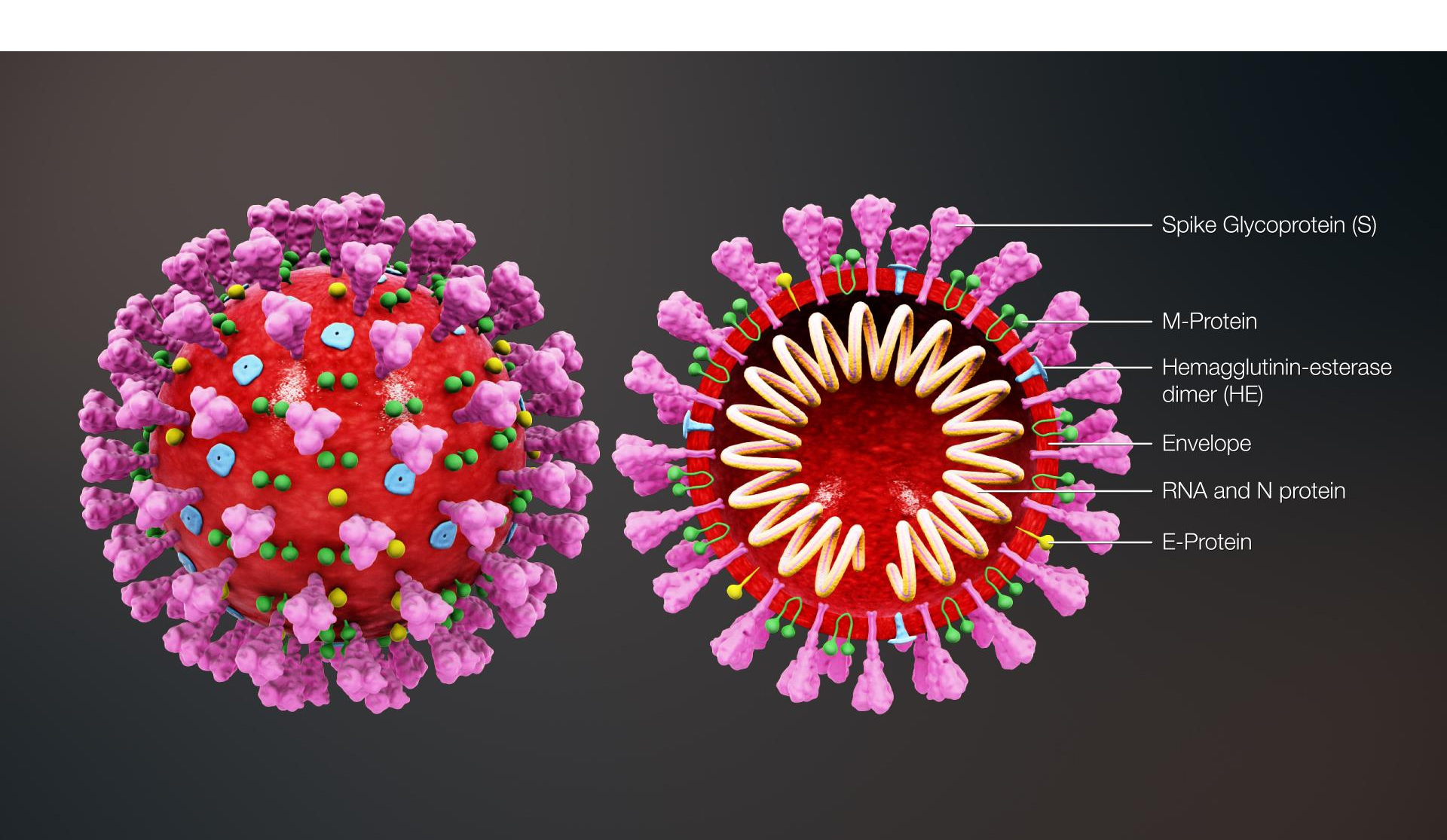
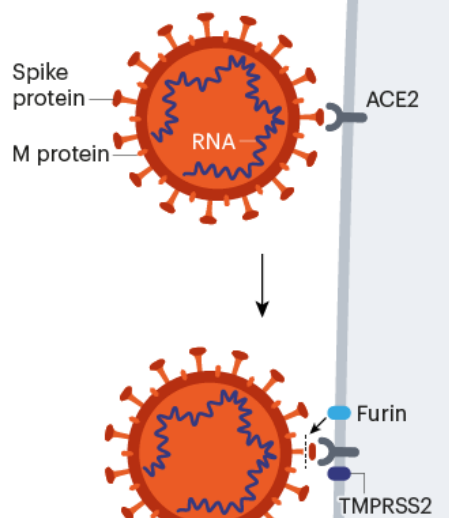


Схема строения SARS-CoV-2



DEADLY INVADER

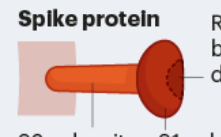
Research suggests the SARS-CoV-2 virus has an array of adaptations that help it break into human cells — the first step in causing COVID-19 disease. Scientists are still debating many of the details.



Жизненный цикл вируса

Cell membrane

> 1. The spike proteins that stud the exterior of the virus have receptor binding domains that are extremely efficient at latching onto ACE2 receptors on human cells.



Receptorbinding domain

S2 subunit S1 subunit

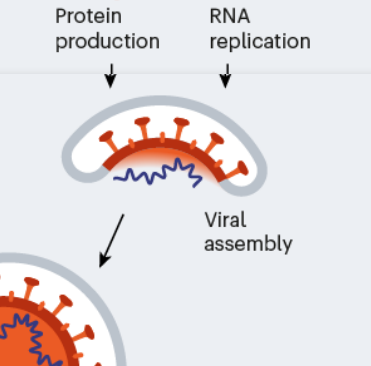
2. Furin or another enzyme. such as TMPRSS2, on the exterior of the host cell are thought to break the spike protein at one or more cleavage sites.

3. That exposes fusion peptides - small chains of amino acids - that fuse the viral membrane with the membrane of the host cell. Fusion Snipped peptides spike protein Virus Cell membrane membrane 4. Fusion allows the virus's RNA to enter the host cell, where it gets translated into proteins.

5. The foreign RNA hijacks the host's cellular machinery to produce RNA and proteins that get assembled into new virus

particles.

6. As the virus particles exit the cell, furin might act on the spike protein to prime it. The new particles can attack other cells or leave the body and infect other people.

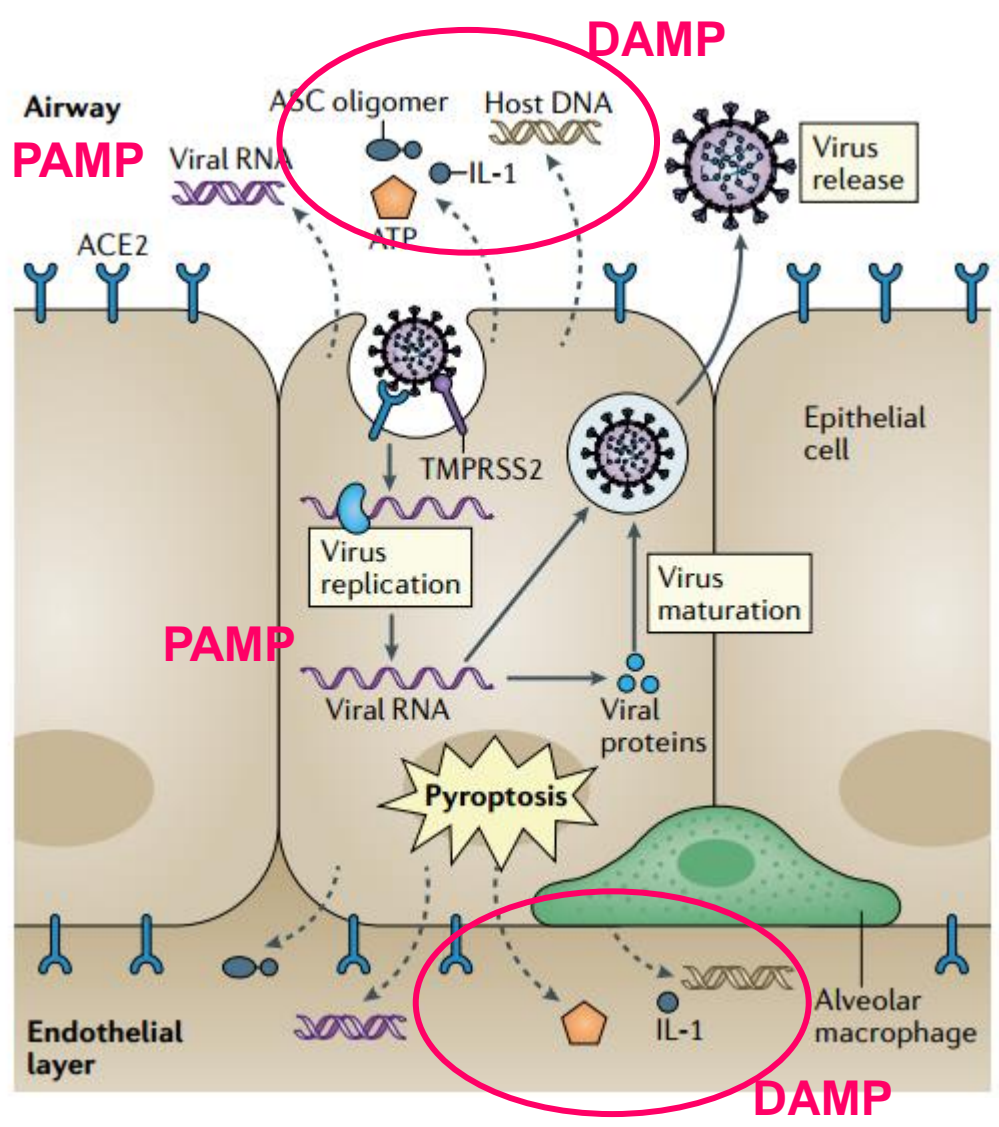


RNA

translation

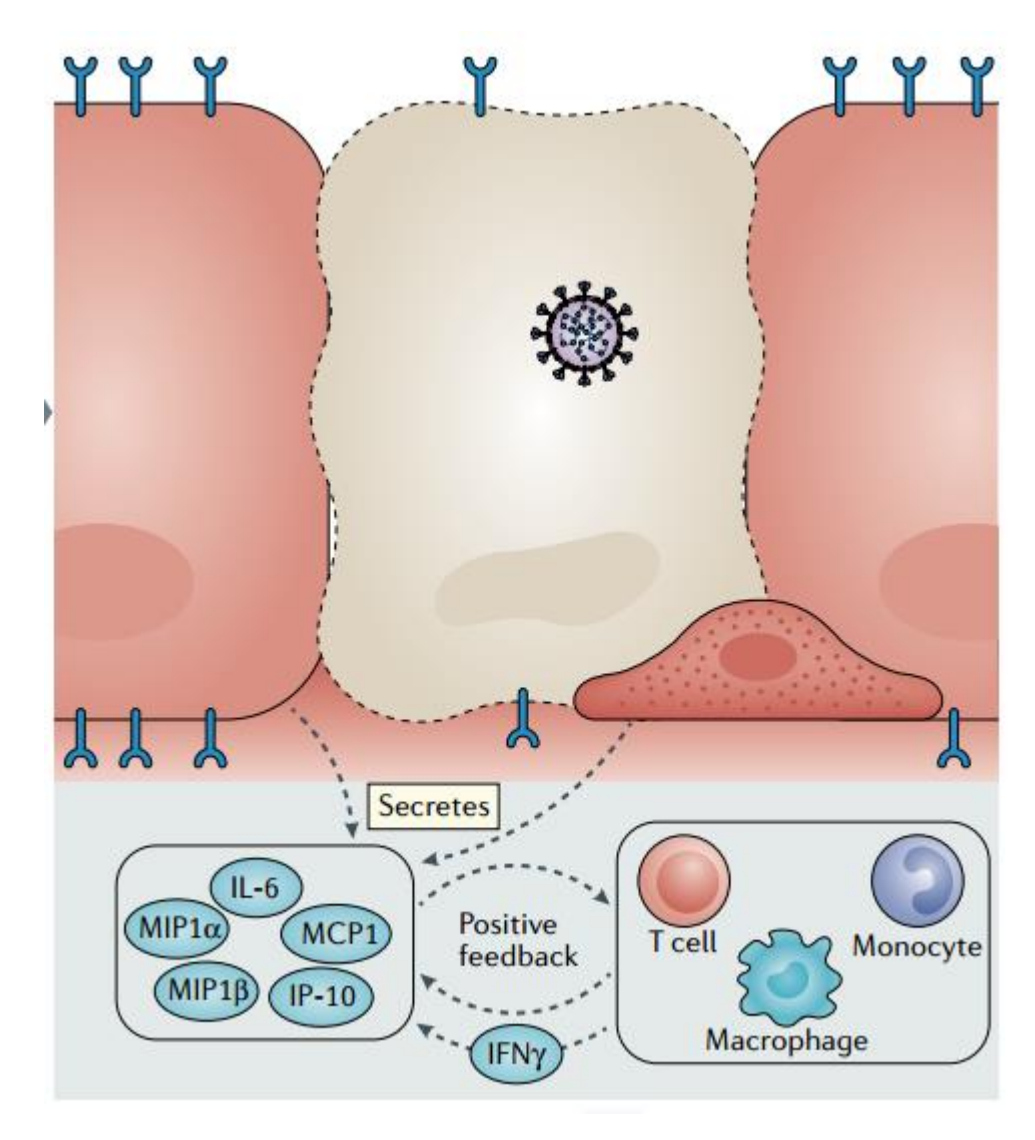


Начальный этап заражения SARS-CoV-2





DAMP и PAMP распознаются TLR и запускают синтез ранних цитокинов

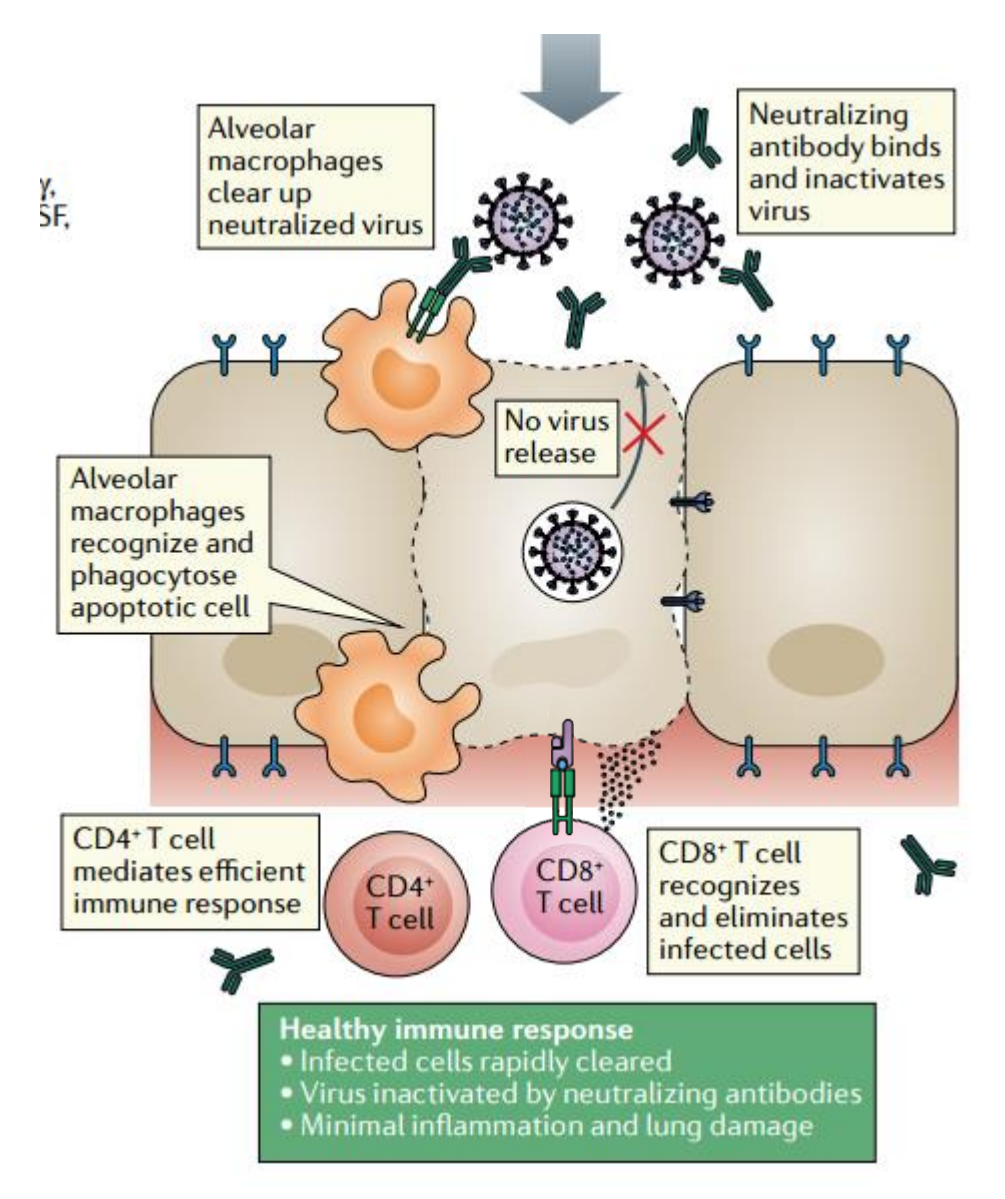


Nat Rev Immunol. 2020

doi: 10.1038/s41577-020-0311-8



Протективный иммунный ответ



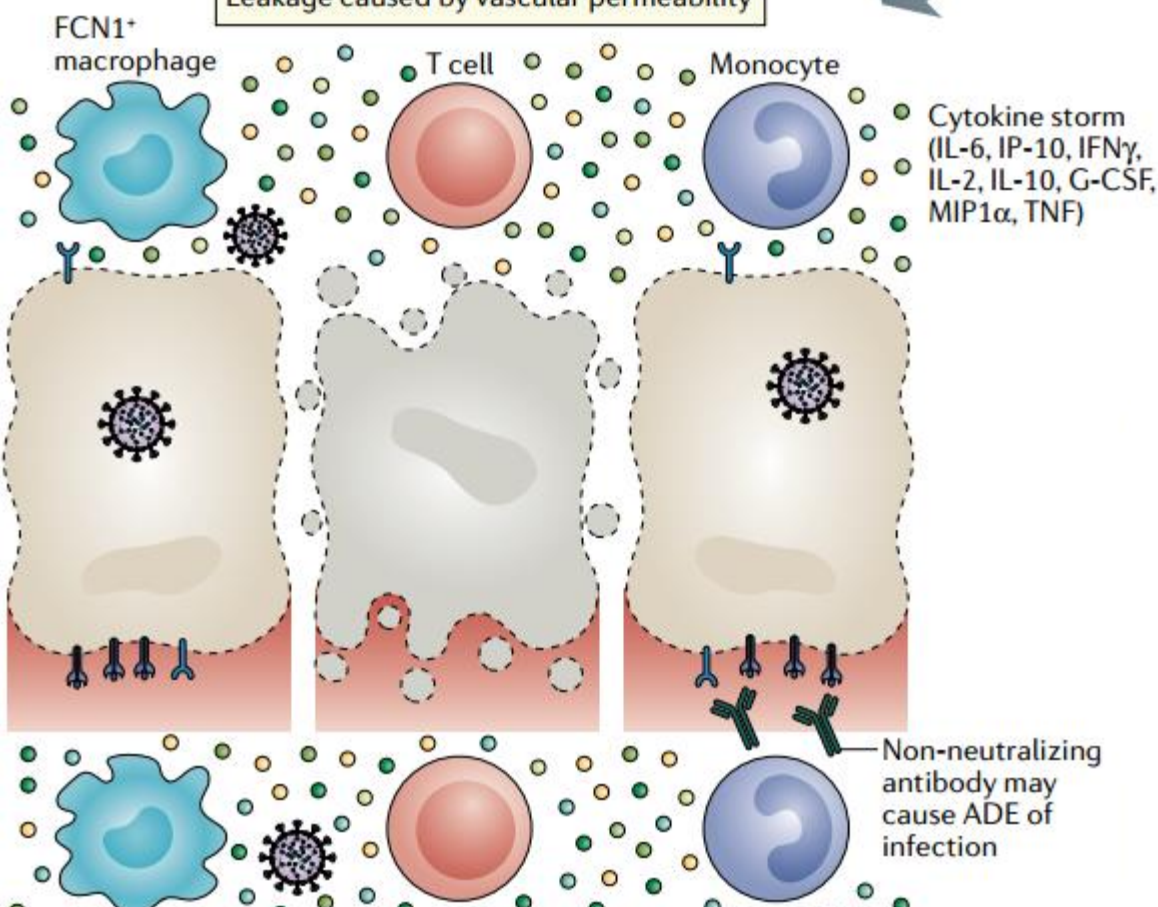
Nat Rev Immunol. 2020

doi: 10.1038/s41577-020-0311-8



Патологический иммунный ответ

Leakage caused by vascular permeability

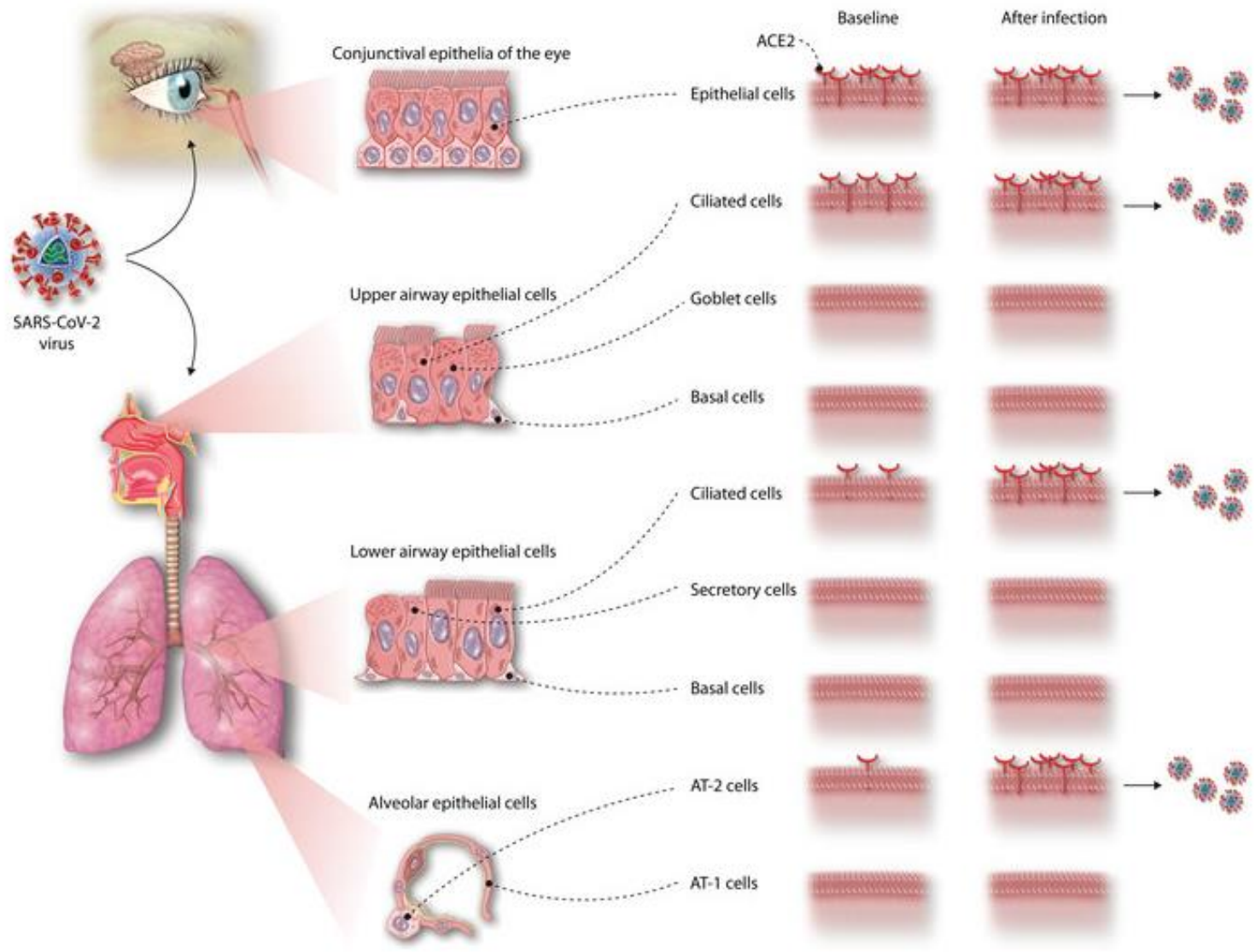


Dysfunctional immune response

- Excessive infiltration of monocytes, macrophages and T cells
- Systemic cytokine storm
- Pulmonary oedema and pneumonia
- Widespread inflammation and multi-organ damage

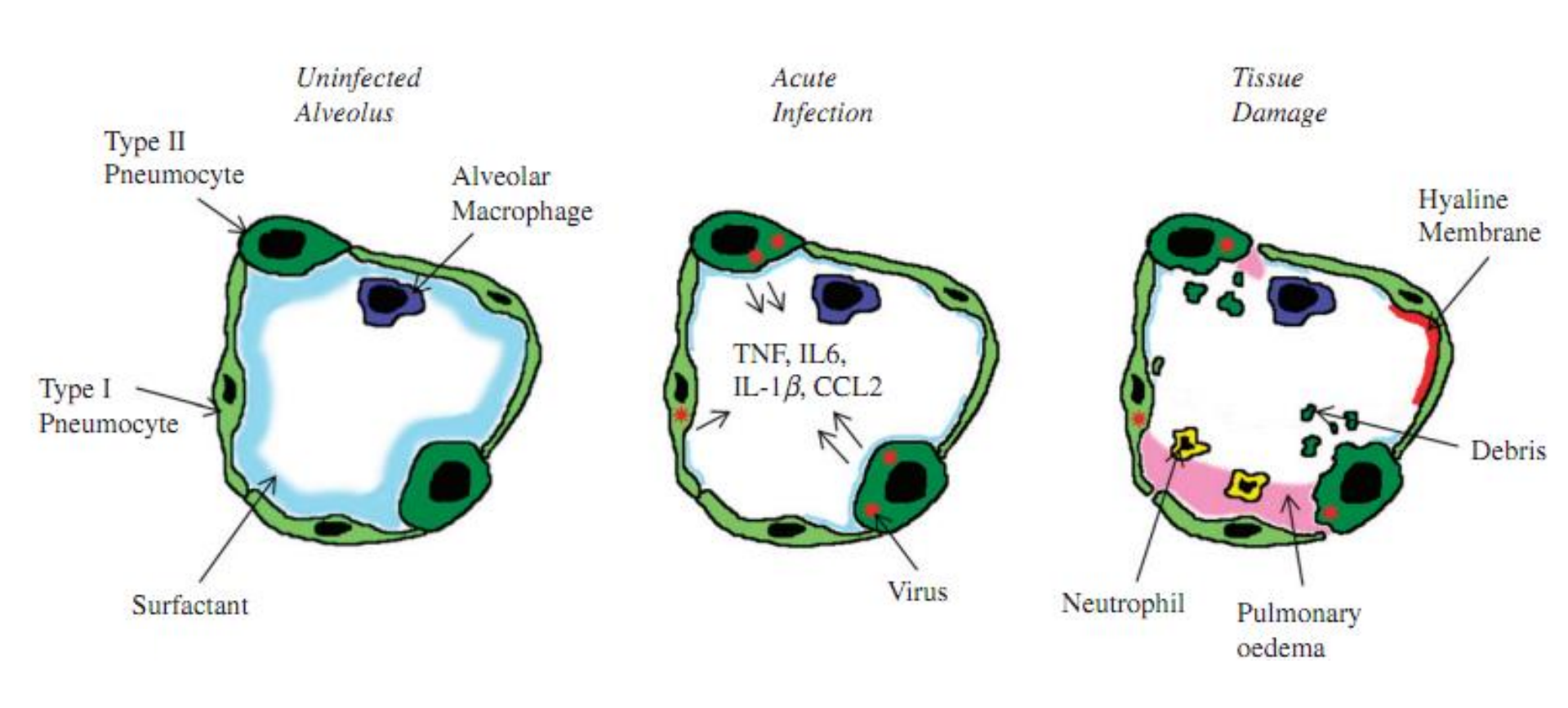


Входные ворота. Экспрессия рецептора *АС*Е2





Модель инфекционного повреждения альвеол





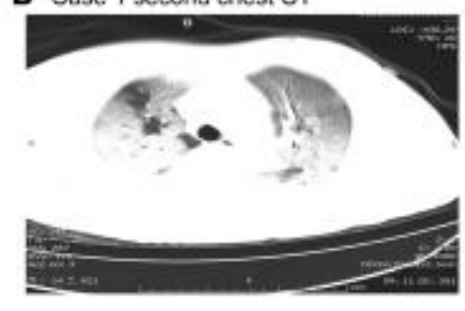
КТ-картина «матовое стекло»

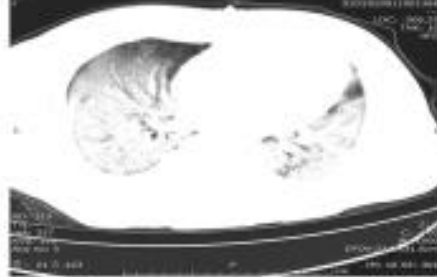
A Case 1 first chest CT





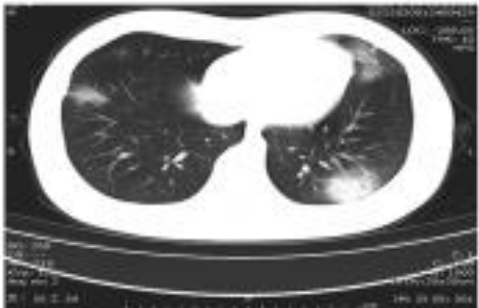
B Case 1 second chest CT





C Case 2 first chest CT





D Case 2 second chest CT





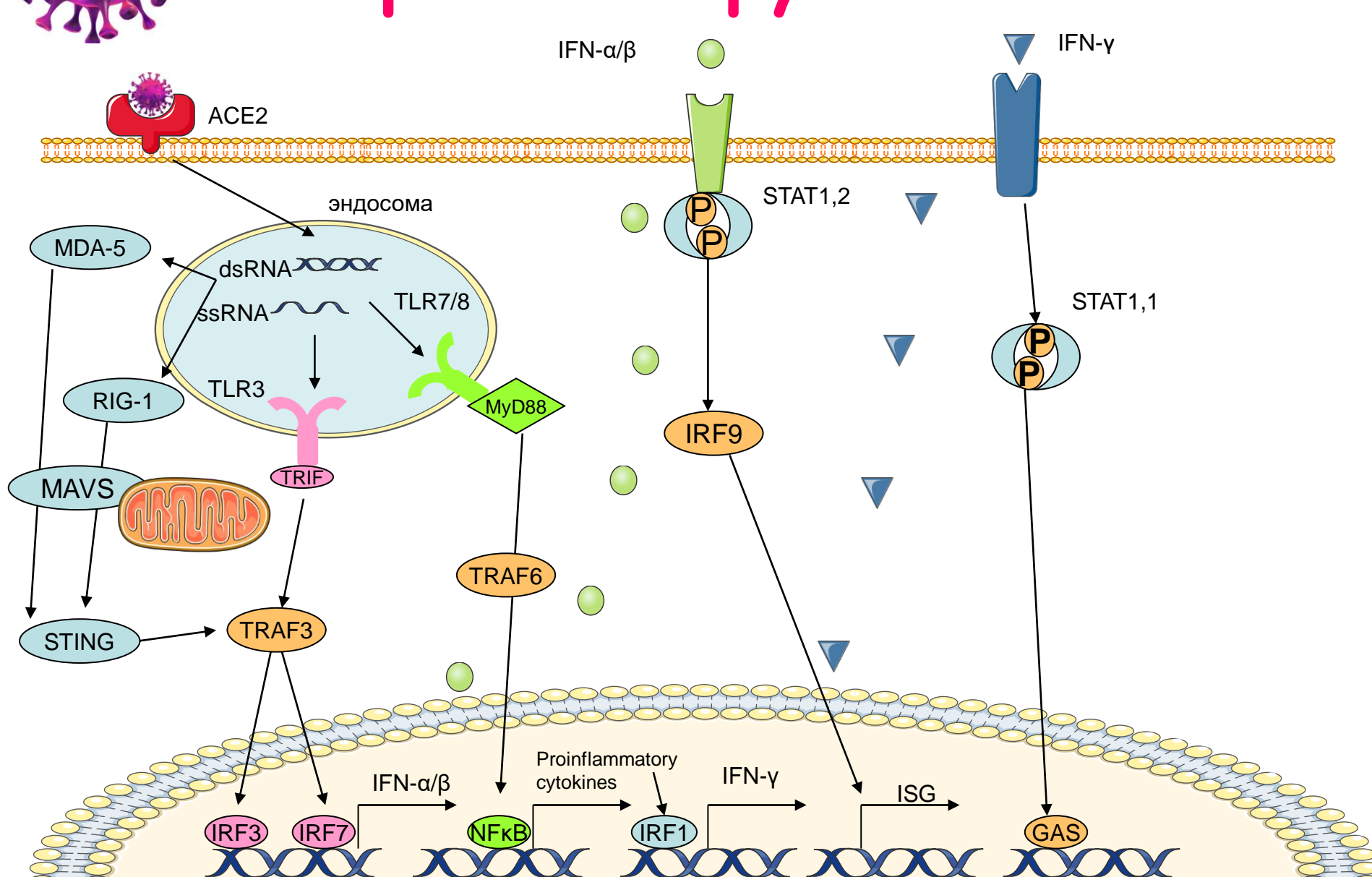


Клиническая картина обусловлена реакцией иммунной системы

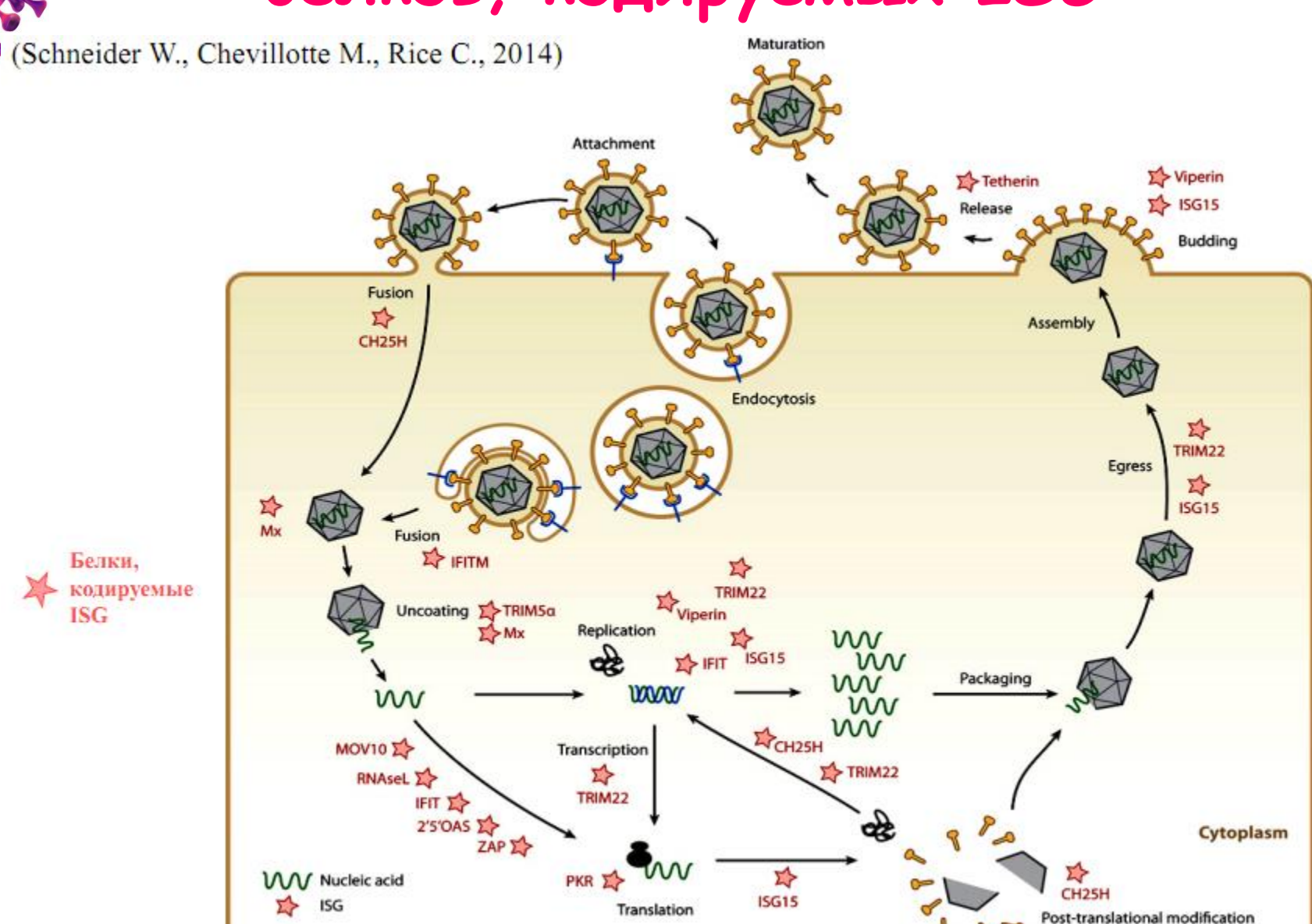
	Течение COVID-19			
	Бессимптом- ное	Легкое/средней тяжести	Тяжелое	
Вирусная нагрузка	HOC	TARCOTVI		
Реакция иммунной системы	Врожденный иммунитет: NK-клетки, интерфероны 1 и 3 типа Адаптивный иммунитет?	Врожденный+ адекватный адаптивный иммунитет: цитотоксические CD8+, протективные антитела	Гиперреакция иммунной системы: цитокиновый шторм, РДС, острый отек легких, полиорганная недостаточность	



Нормальный противовирусный ответ



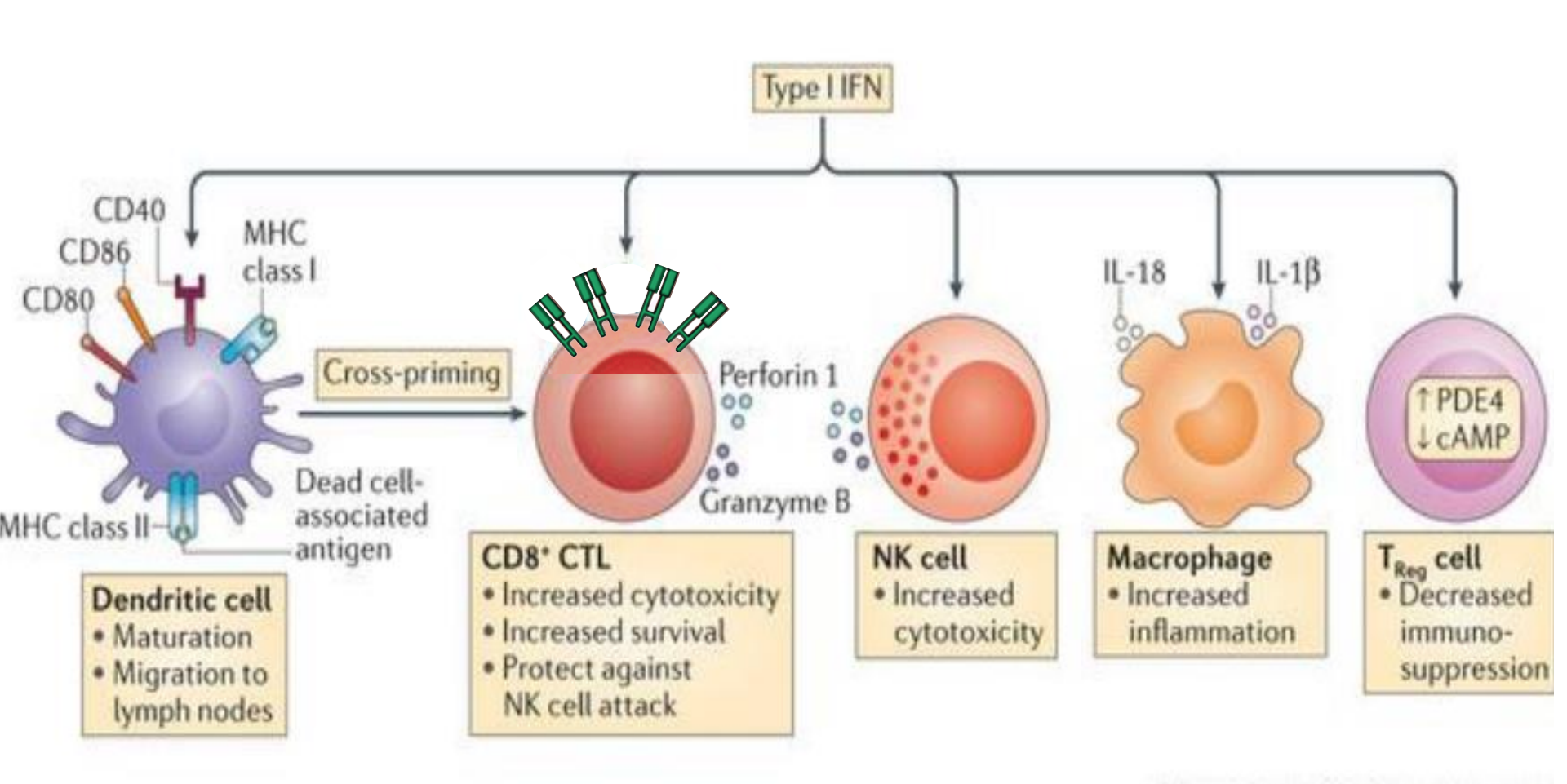
Мишени противовирусного действия белков, кодируемых ISG



and processing



Биологическое действие интерферонов 1 типа

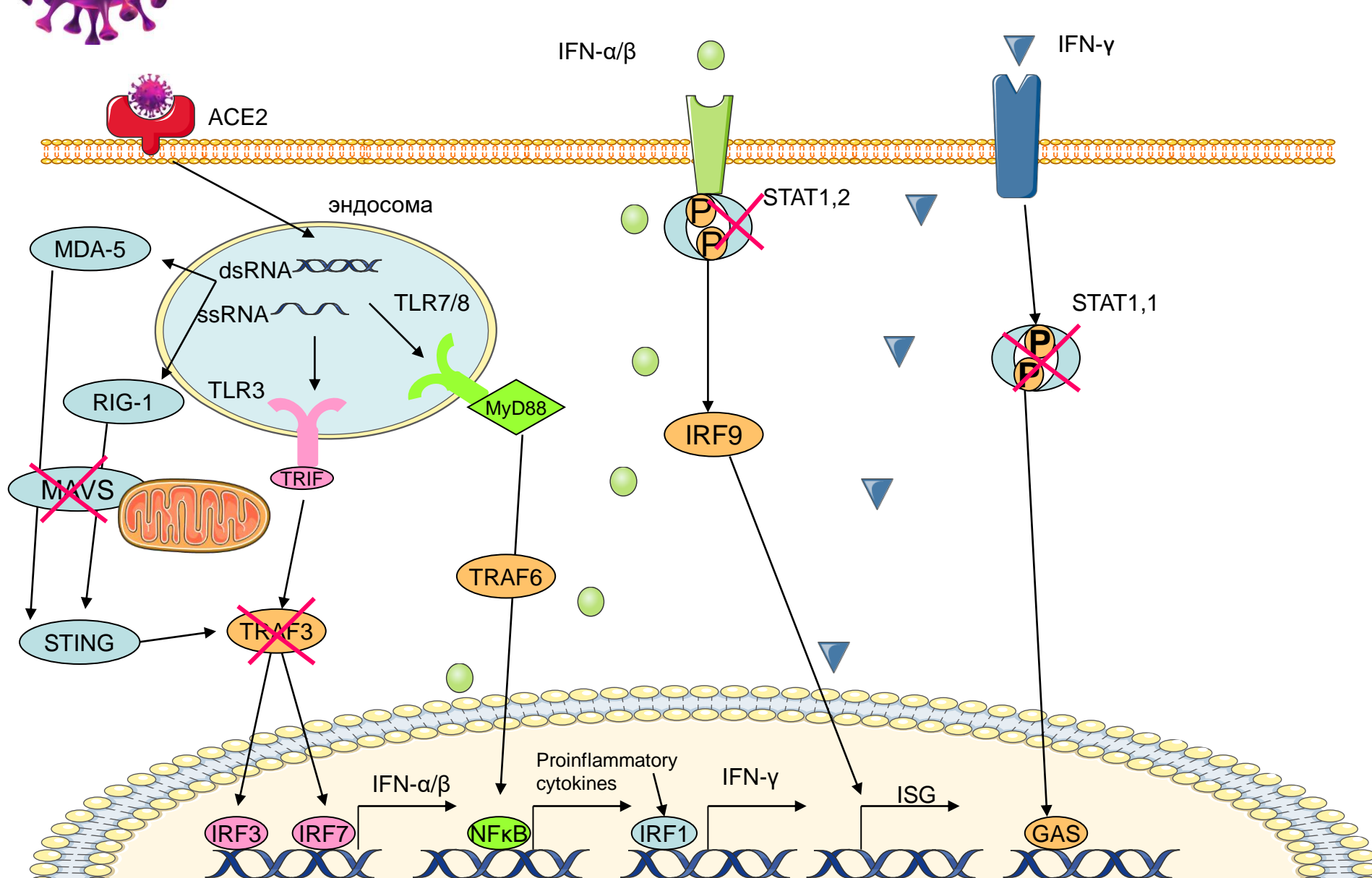


Nature Reviews | Immunology

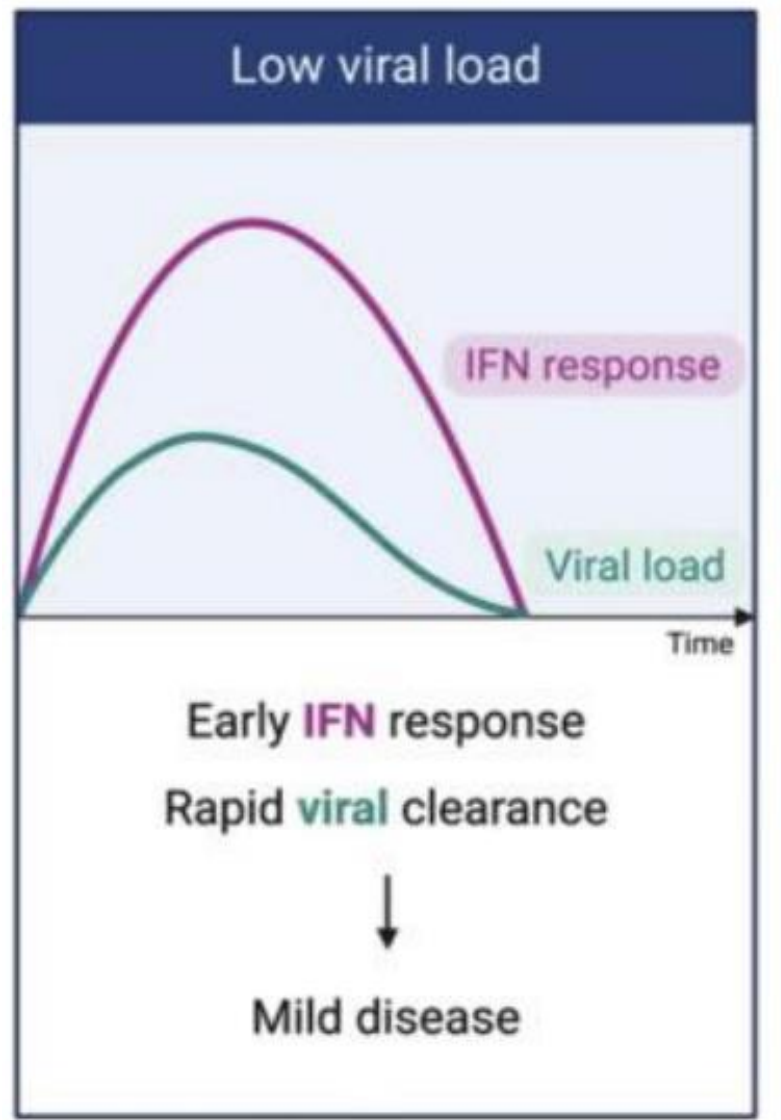
L.Zitvogel et al., 2015

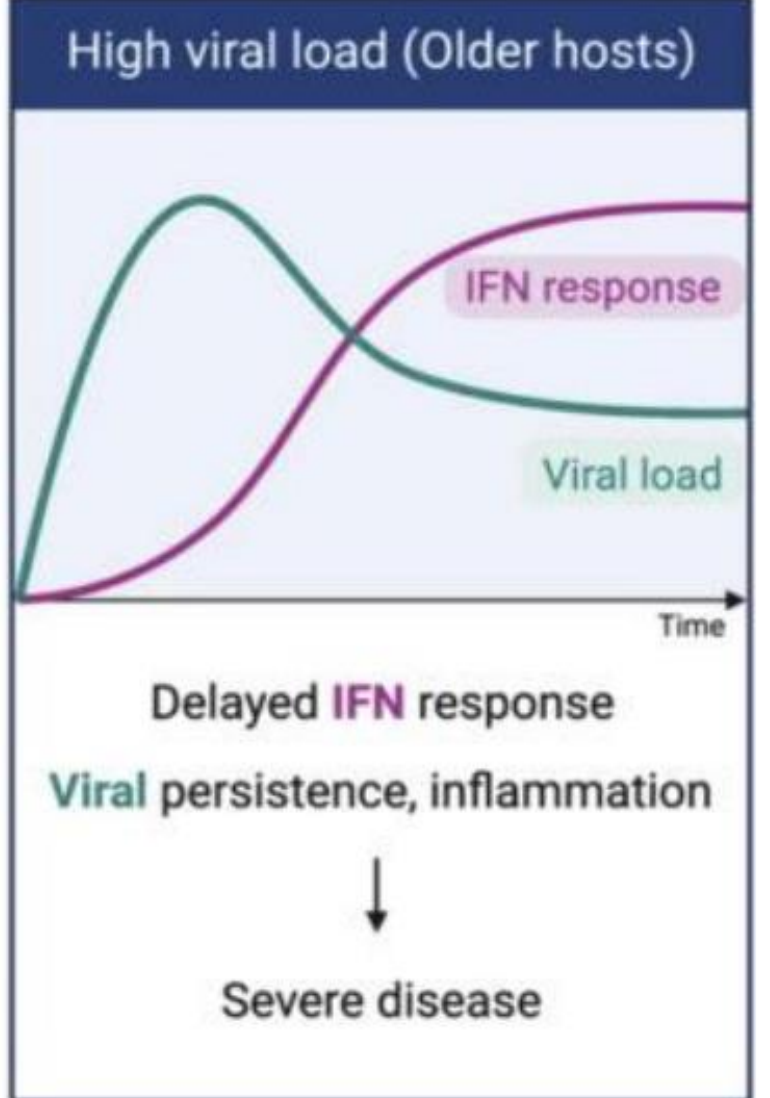


Сигнальные пути врожденного иммунитета, повреждаемые SARS-CoV-2



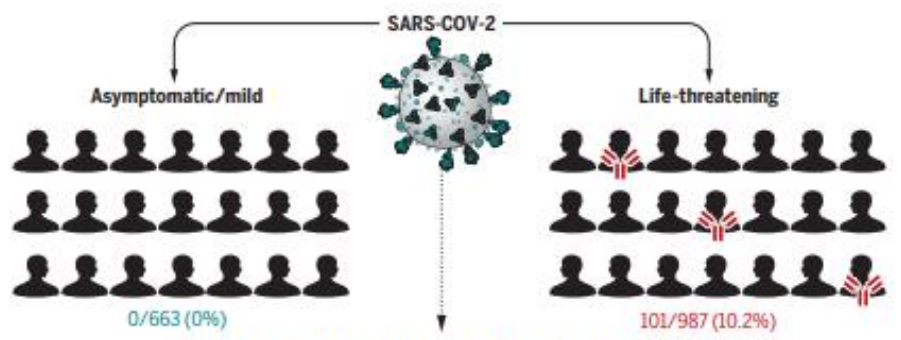
Зависимость тяжести заболевания от интерферонового ответа



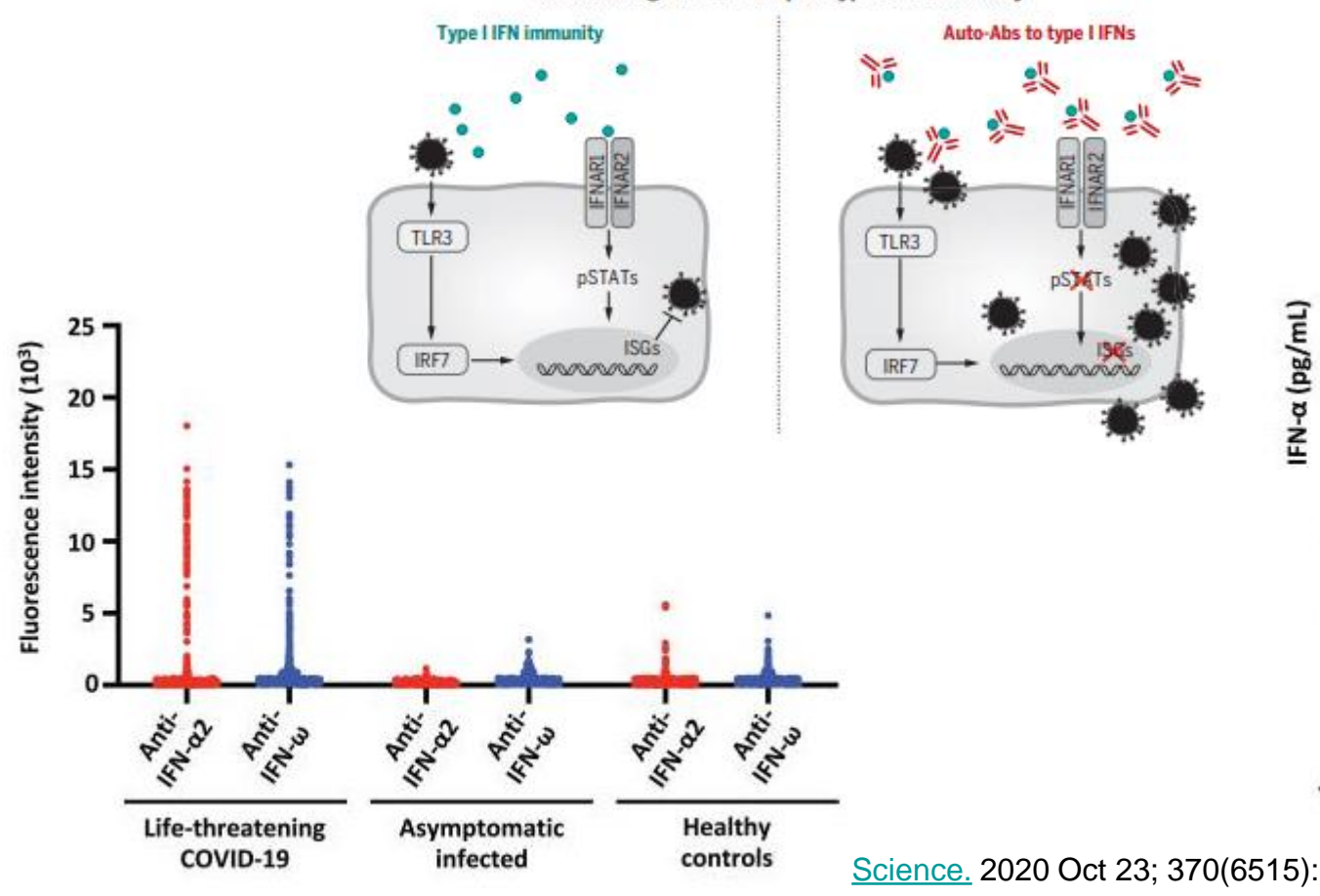


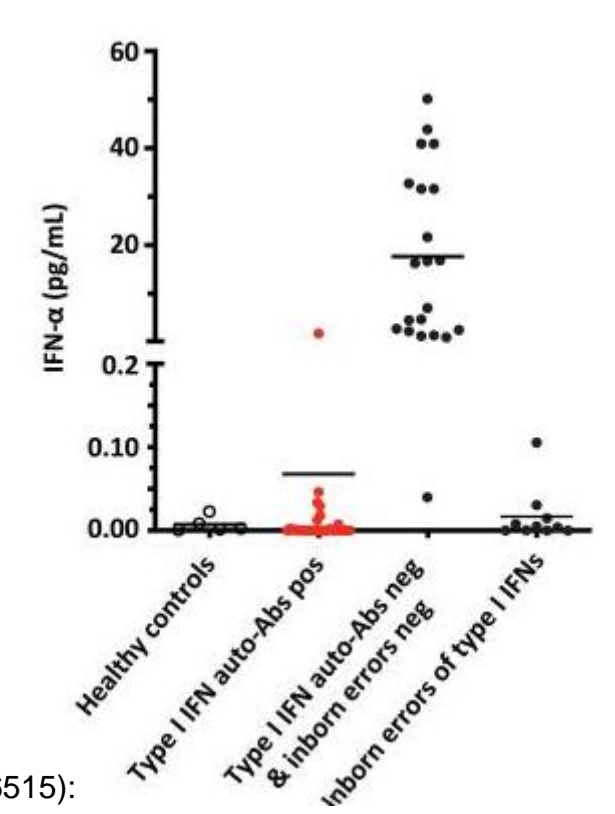


Анти IFN I типа аутоантитела

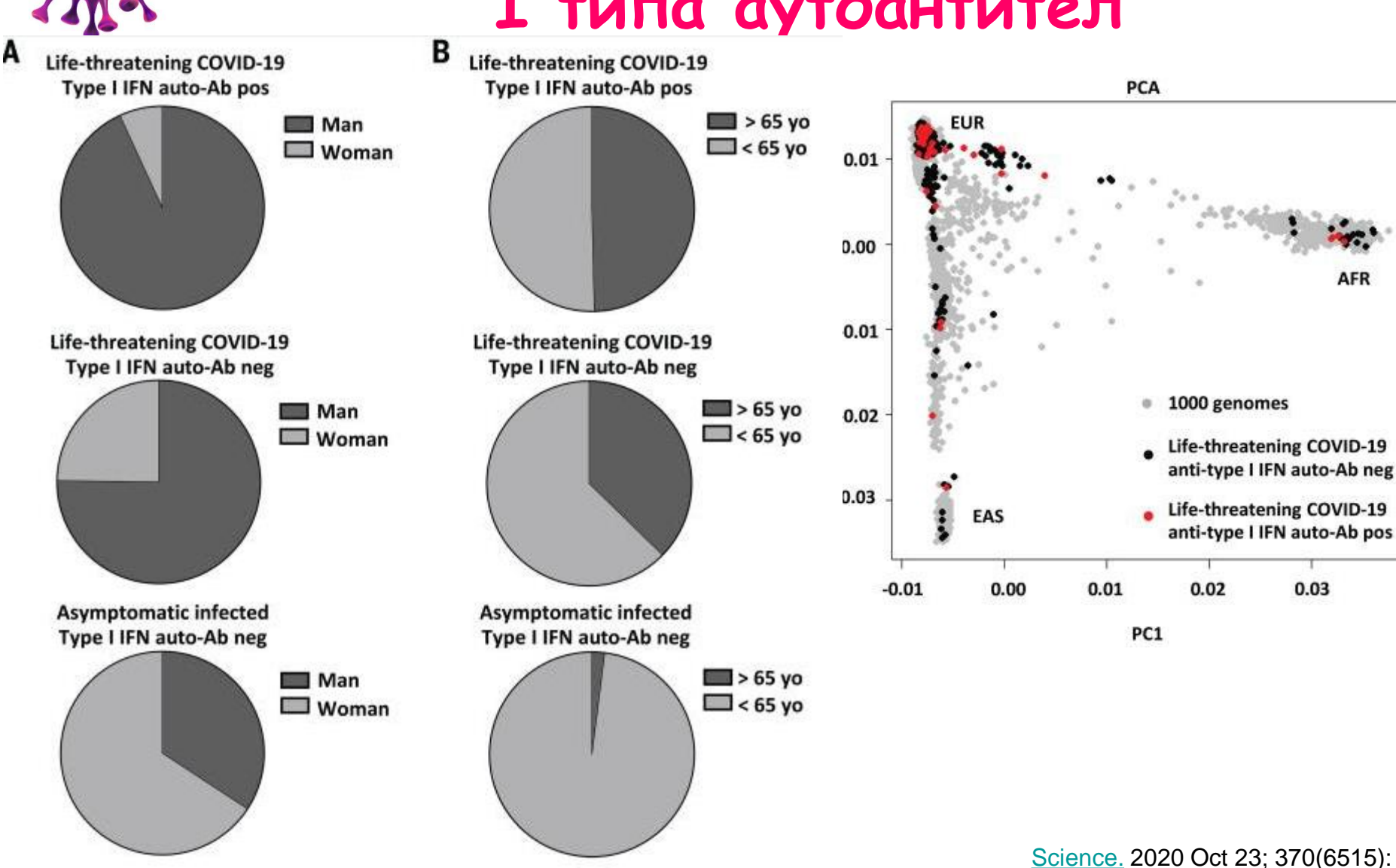


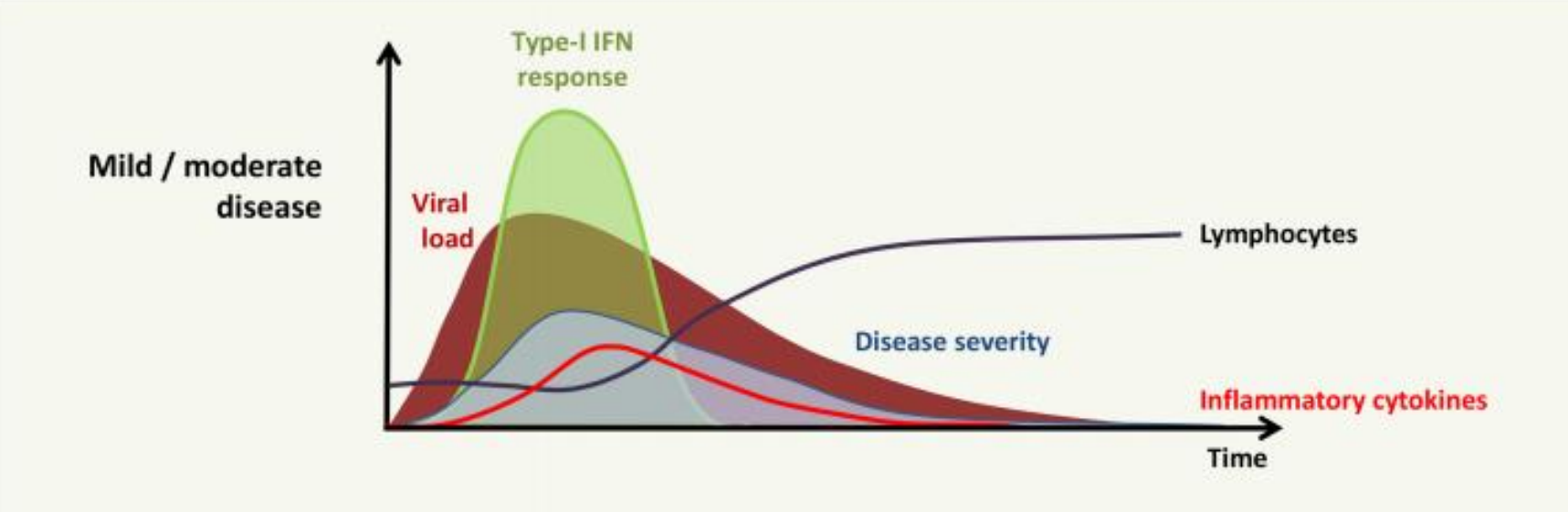
Neutralizing auto-Abs impair type I IFN immunity

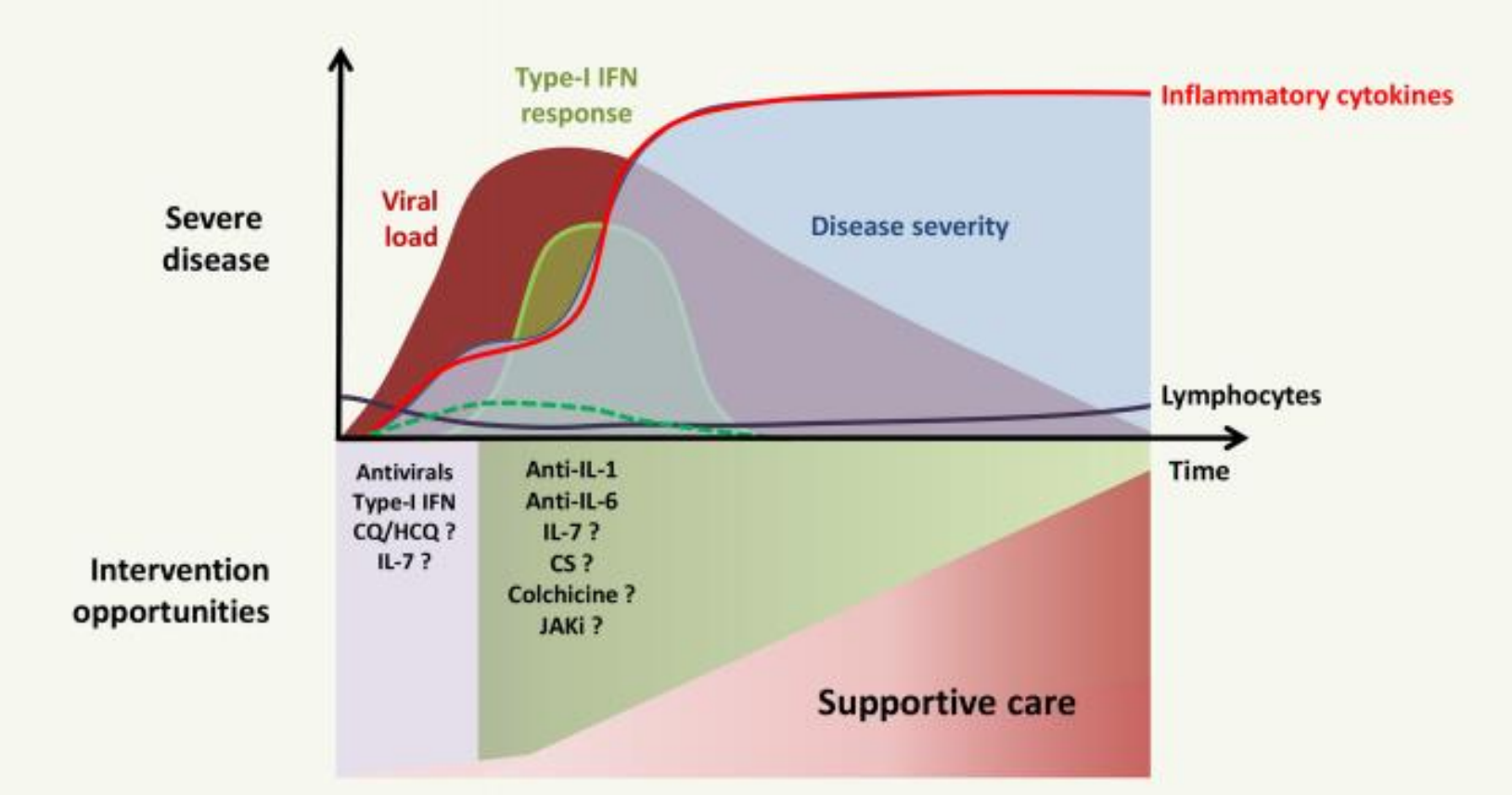




Демографическое и этническое распределение носителей анти IFN I типа аутоантител









Иммунный ответ при вирусных инфекциях

Нормальный защитный ответ

Патогенез:



Низкая вирусная репликация.

Ранний синтез IFN.

- ↑↑ Инфильтрация легких М/Мф и Н
- ↑↑ Синтез провоспалит. ЦК и XK

Последствия:



Минимальный апоптоз эпителиальных и эндотелиальных клеток альвеол.

Низкая проницаемость сосудов.

Сильный Т-клеточный ответ и синтез антител.

Исходы:



Эффективное освобождение от вируса. Протективный иммунитет.

Выздоровление

Несбалансированный иммунный ответ



Высокая вирусная репликация.

Сниженный и отсроченный синтез IFN

↑↑↑↑ Инфильтрация легких М/Мф и Н

↑↑↑↑ Синтез провоспалит. ЦК и ХК



Апоптоз эпителиальных и эндотелиальных клеток альвеол.

Увеличение проницаемости сосудов.

Слабый Т-клеточный ответ и низкий синтез антител.

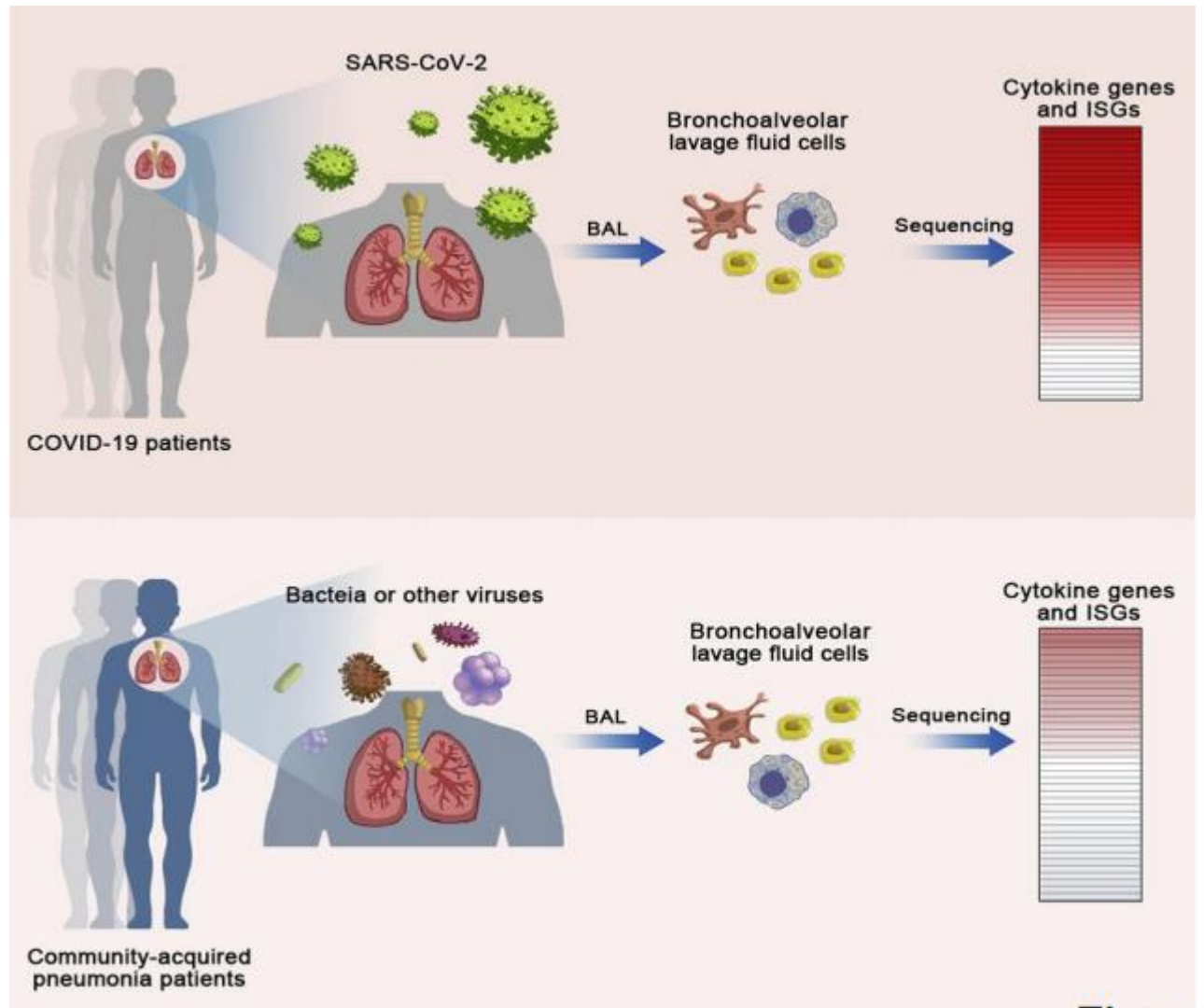


Гибель больного

Channappanavar, Perlman, 2017

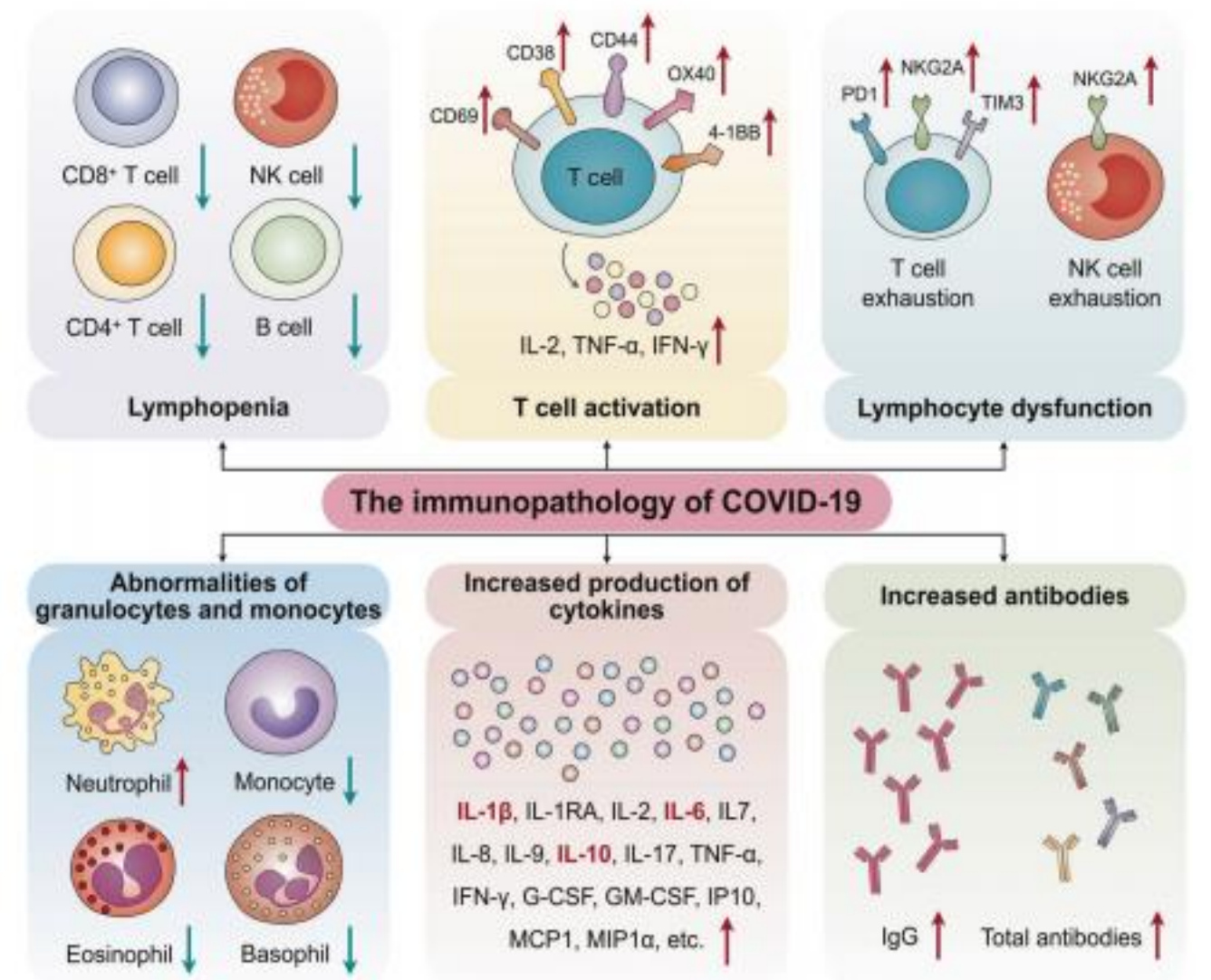


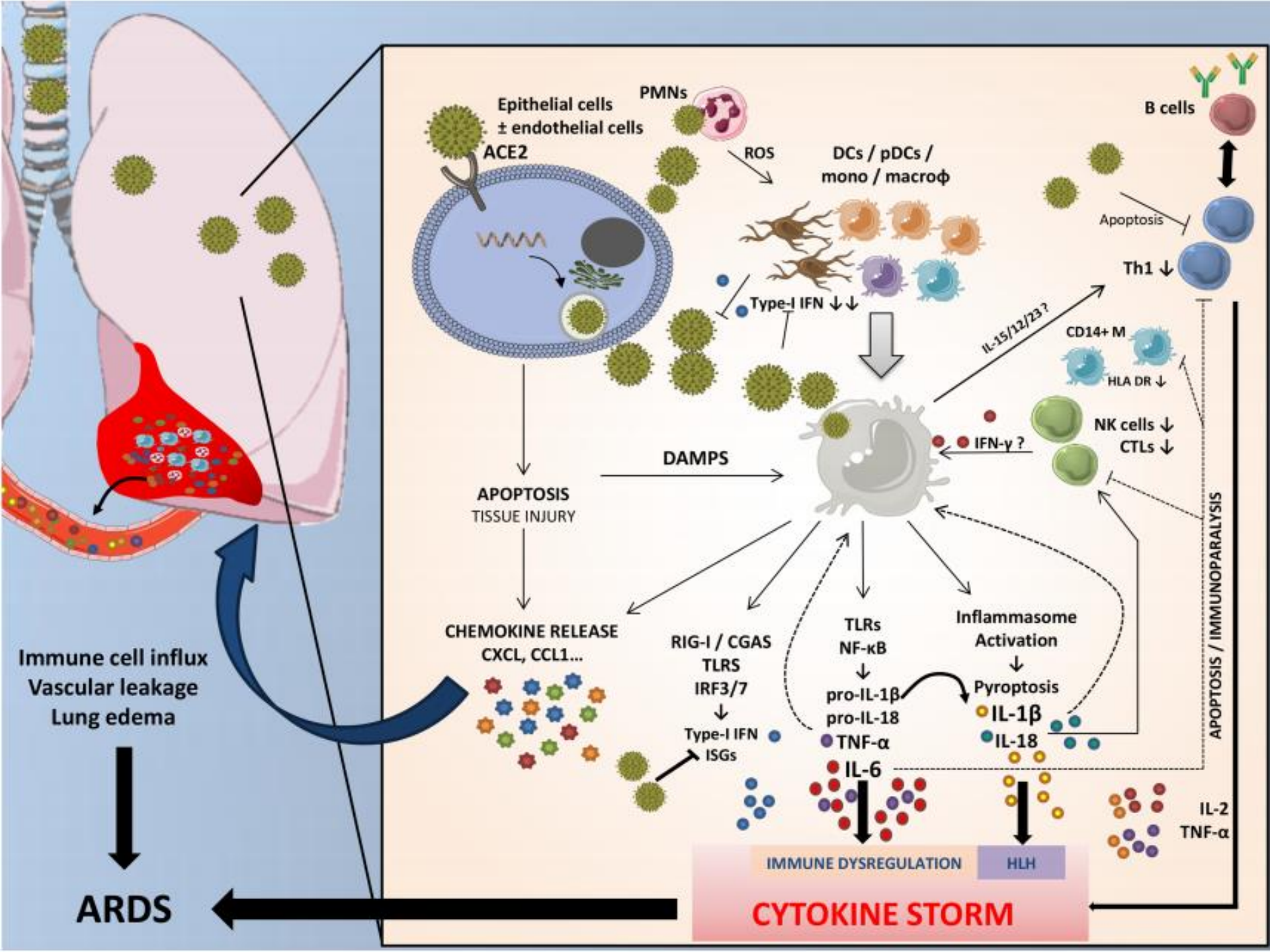
Повышенная активация врожденного вреспираторном тракте иммунитета в респираторном тракте больных CoVID-19



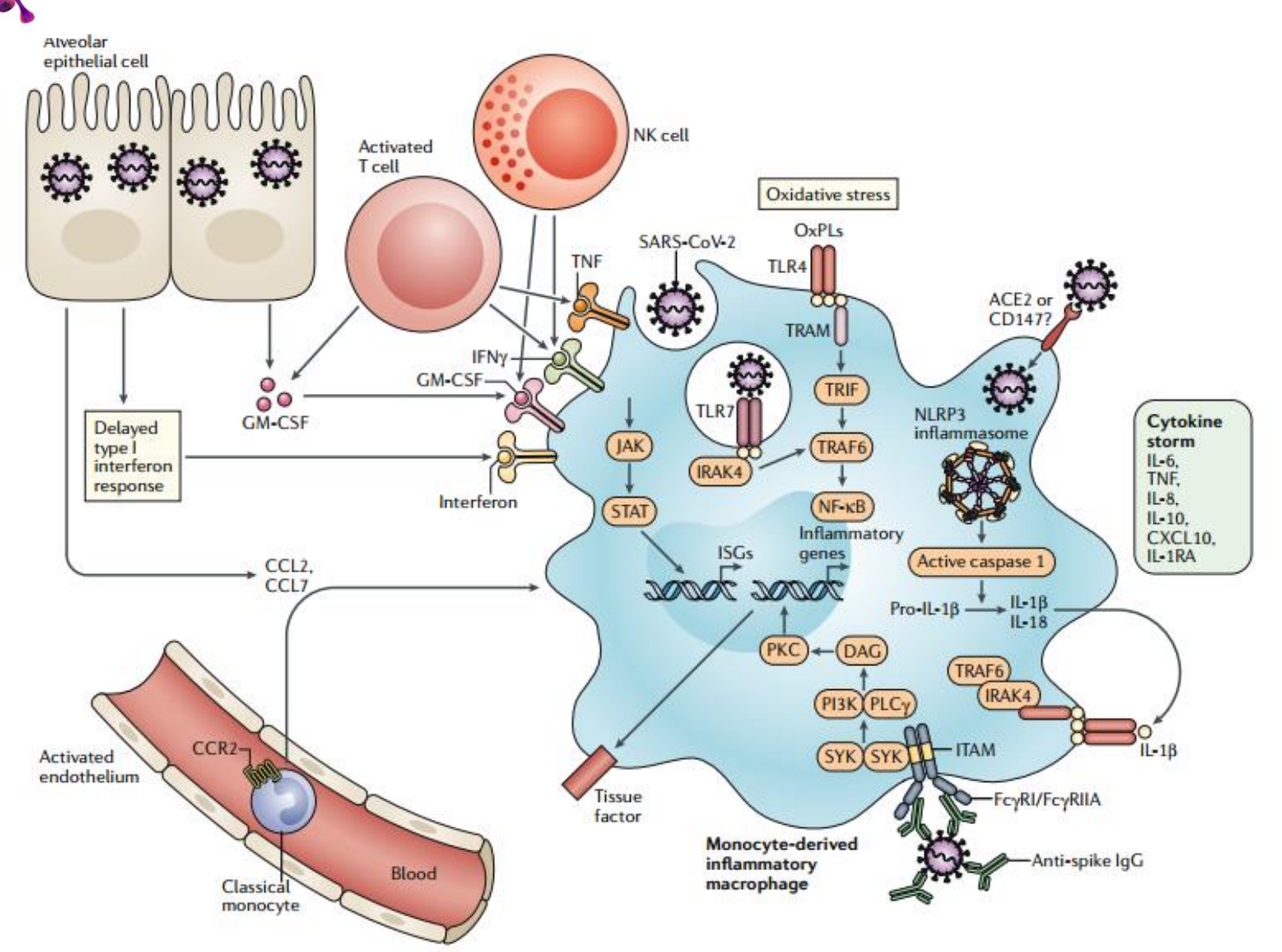


Иммунопатология CoVID-19



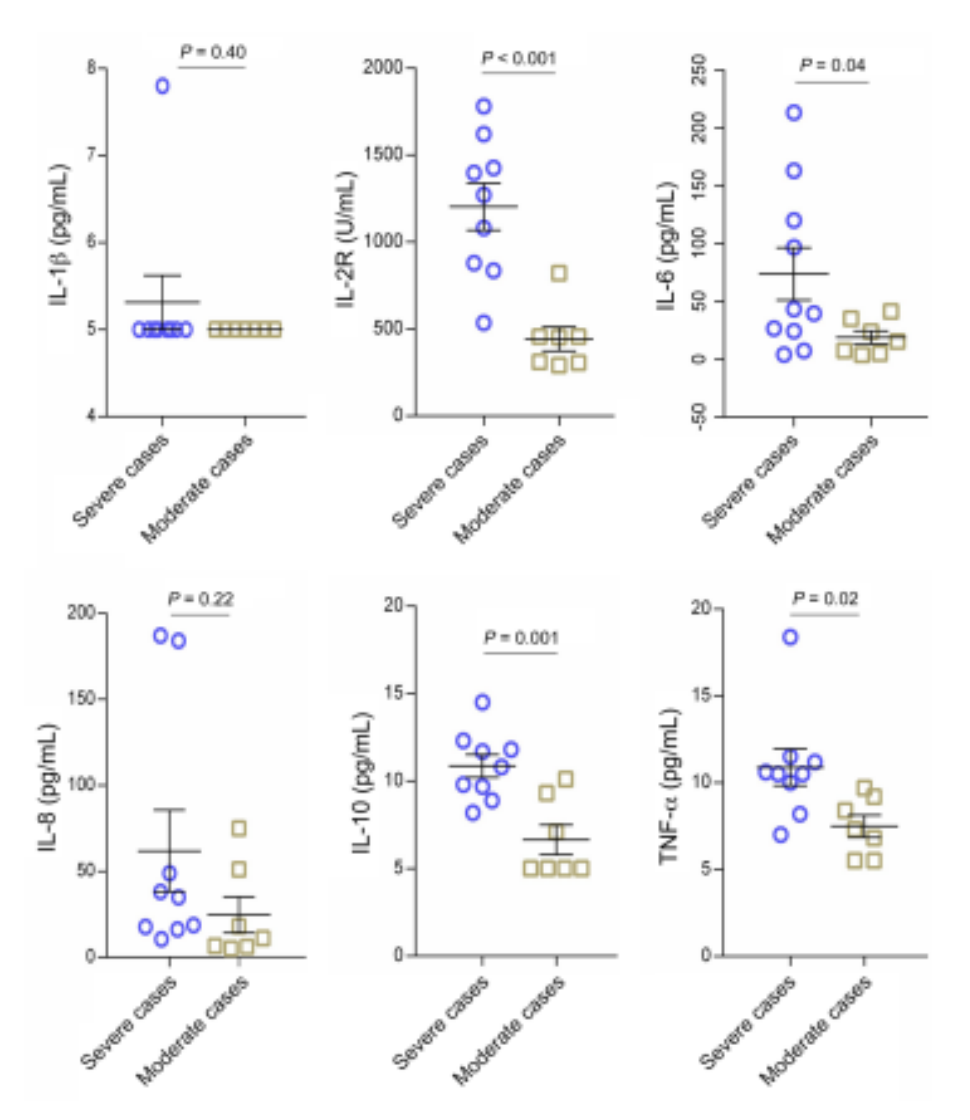


Гиперактивация моноцитов/макрофагов и гипервоспаление при CoVID-19



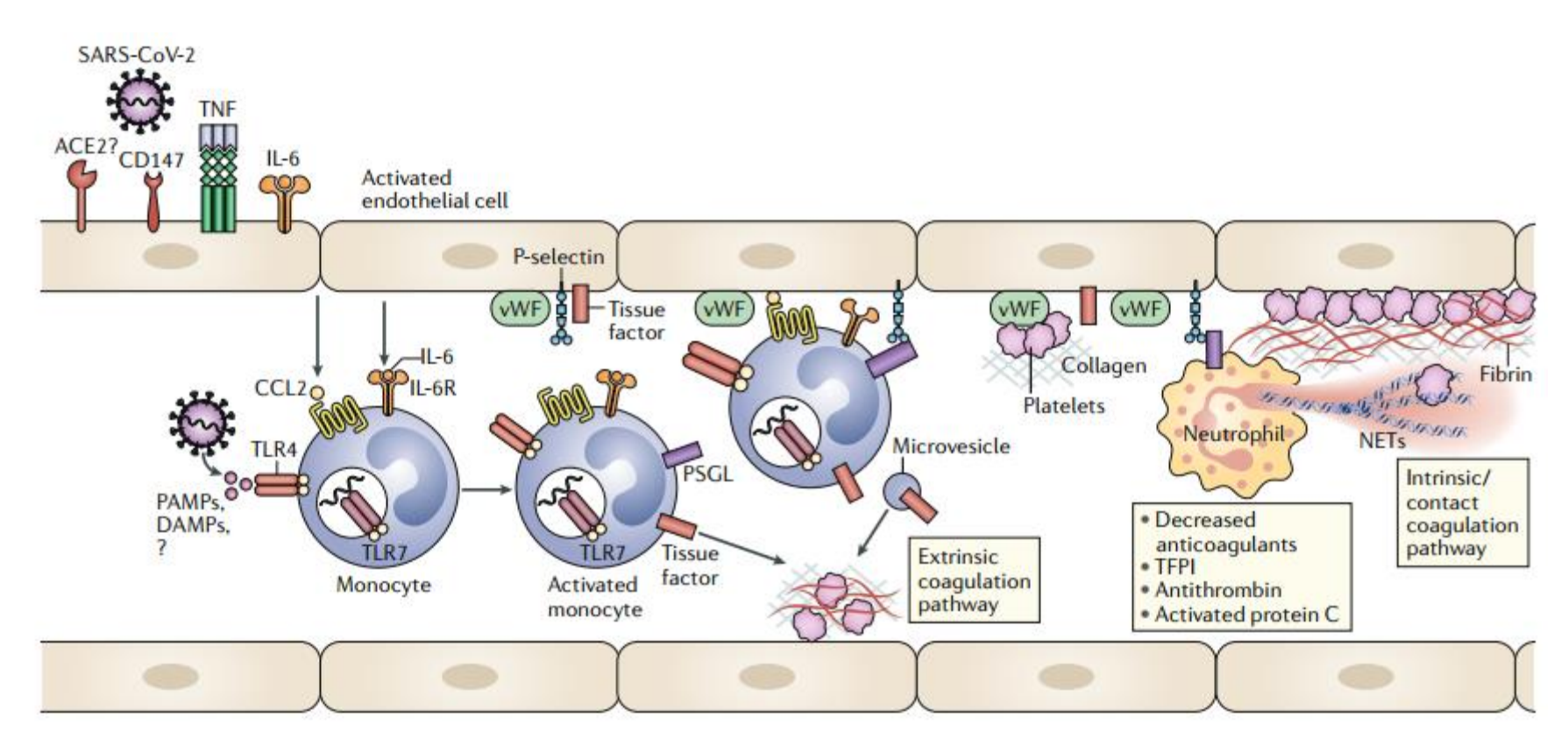


Уровень цитокинов в плазме крови больных CoVID-19



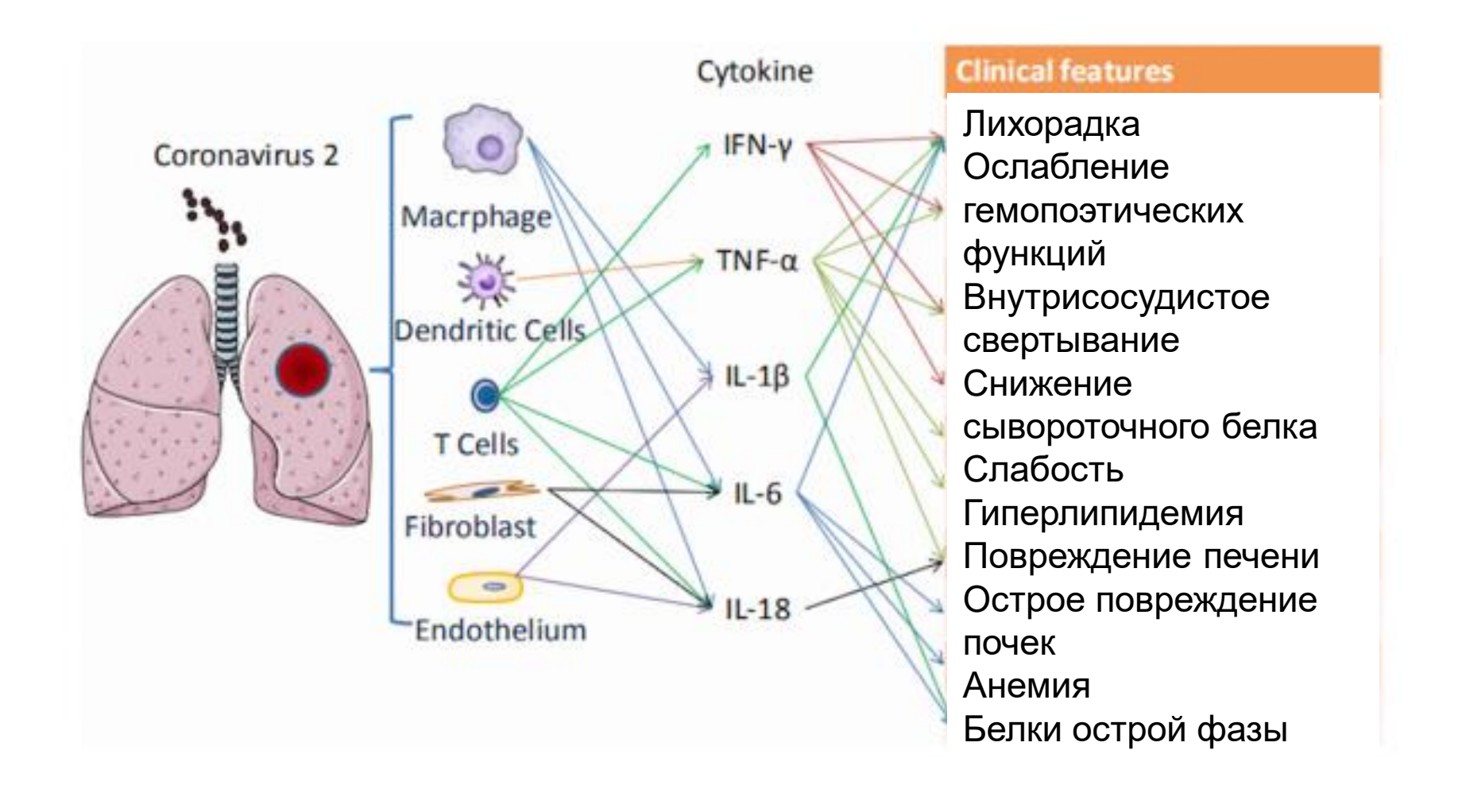


Вклад гиперактивированных моноцитов в коагуляцию при CoVID-19

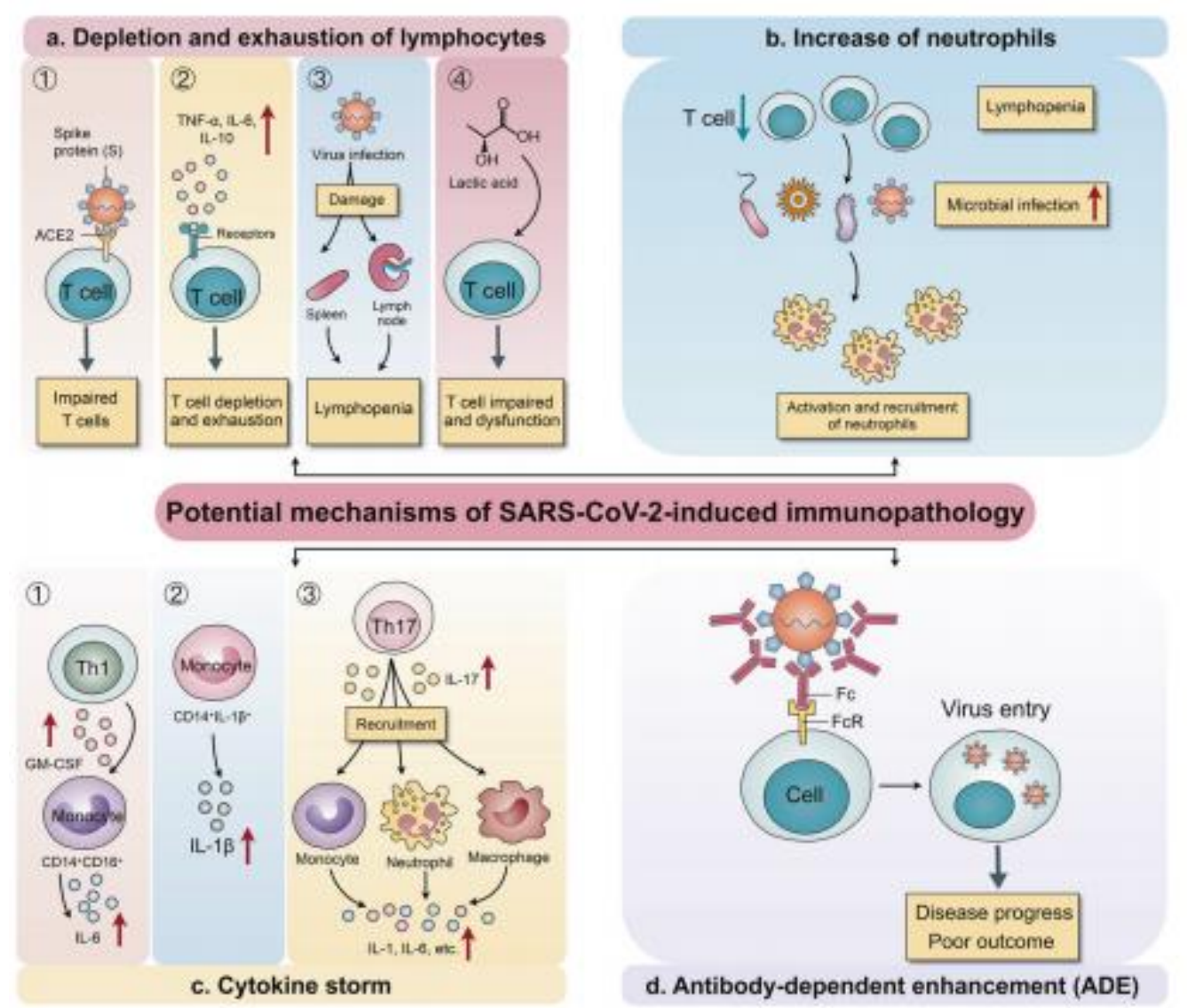




Цитокиновая регуляция клинических симптомов

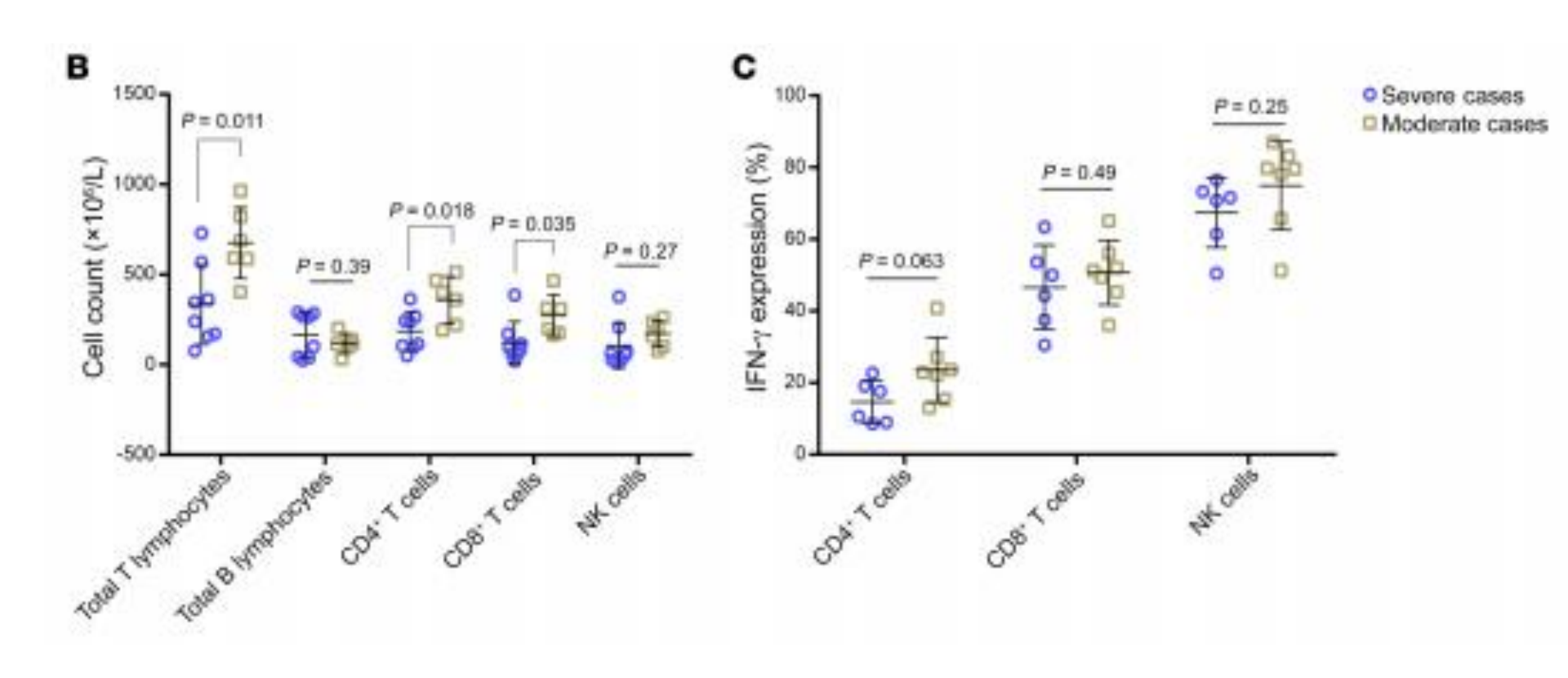


Механизмы индукции иммунопатологии при CoVID-19



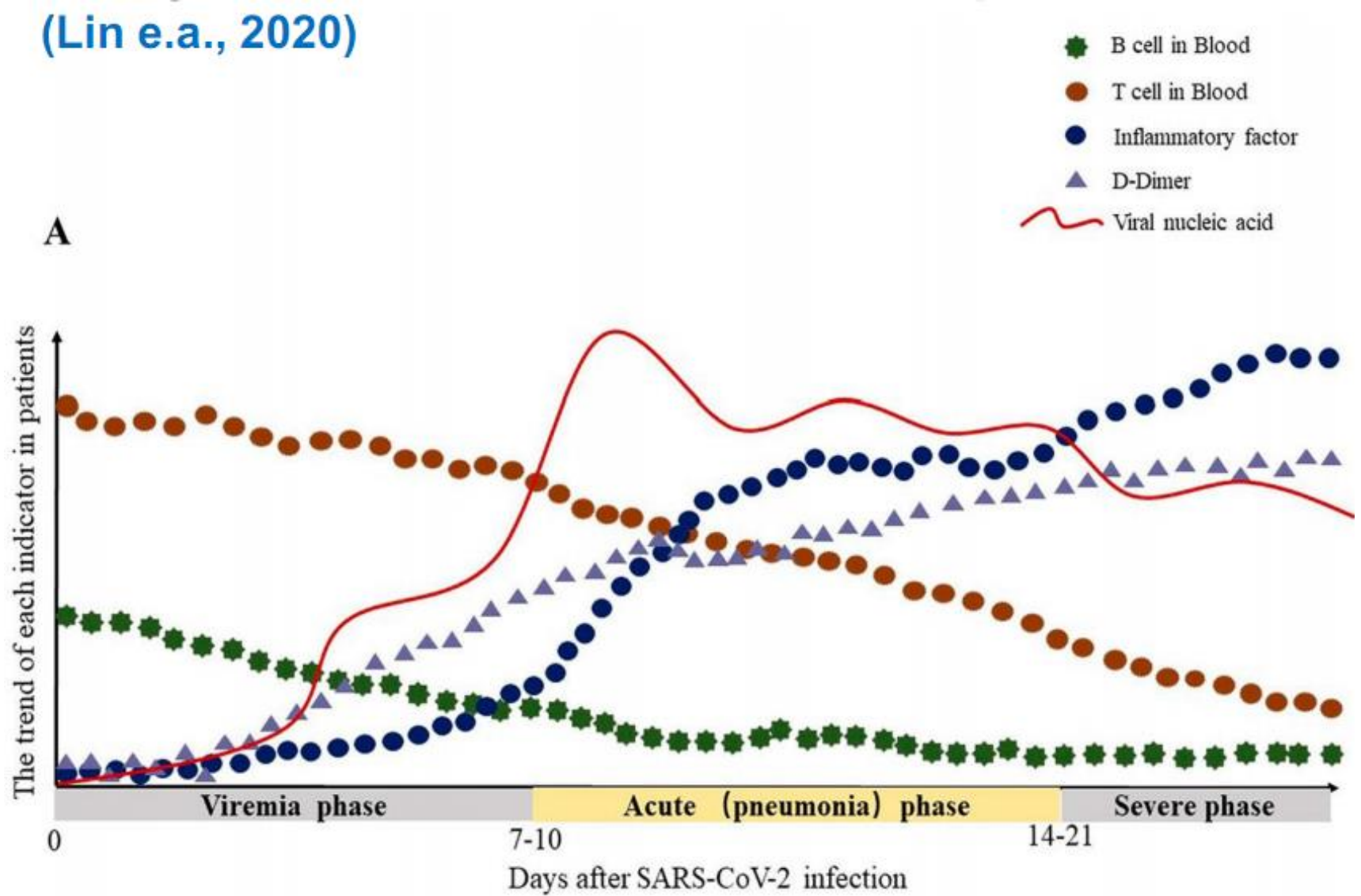


Субпопуляции лимфоцитов и продукция IFN-ү у больных CoVID-19



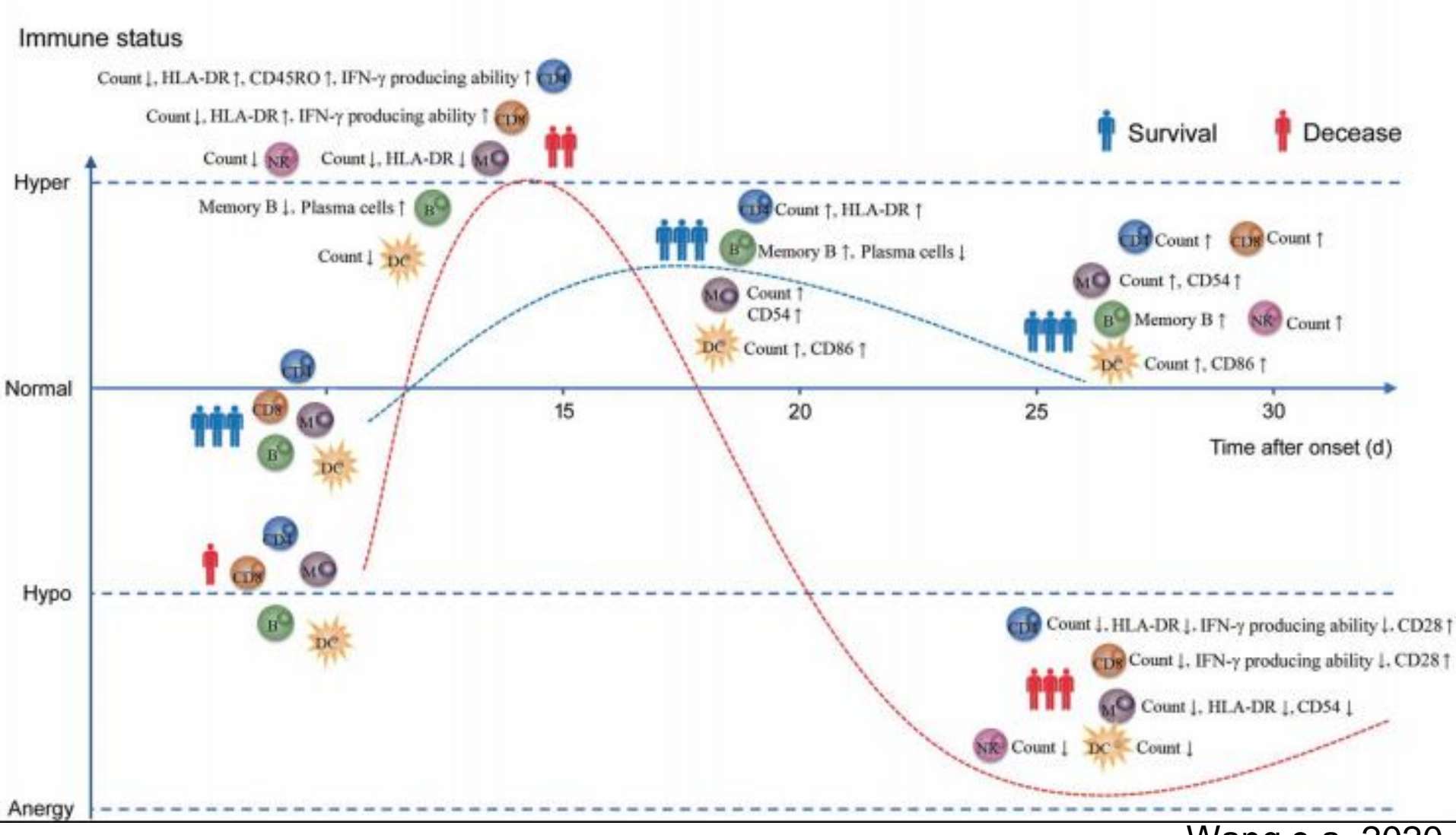


Иммунологические изменения при CoVID-19



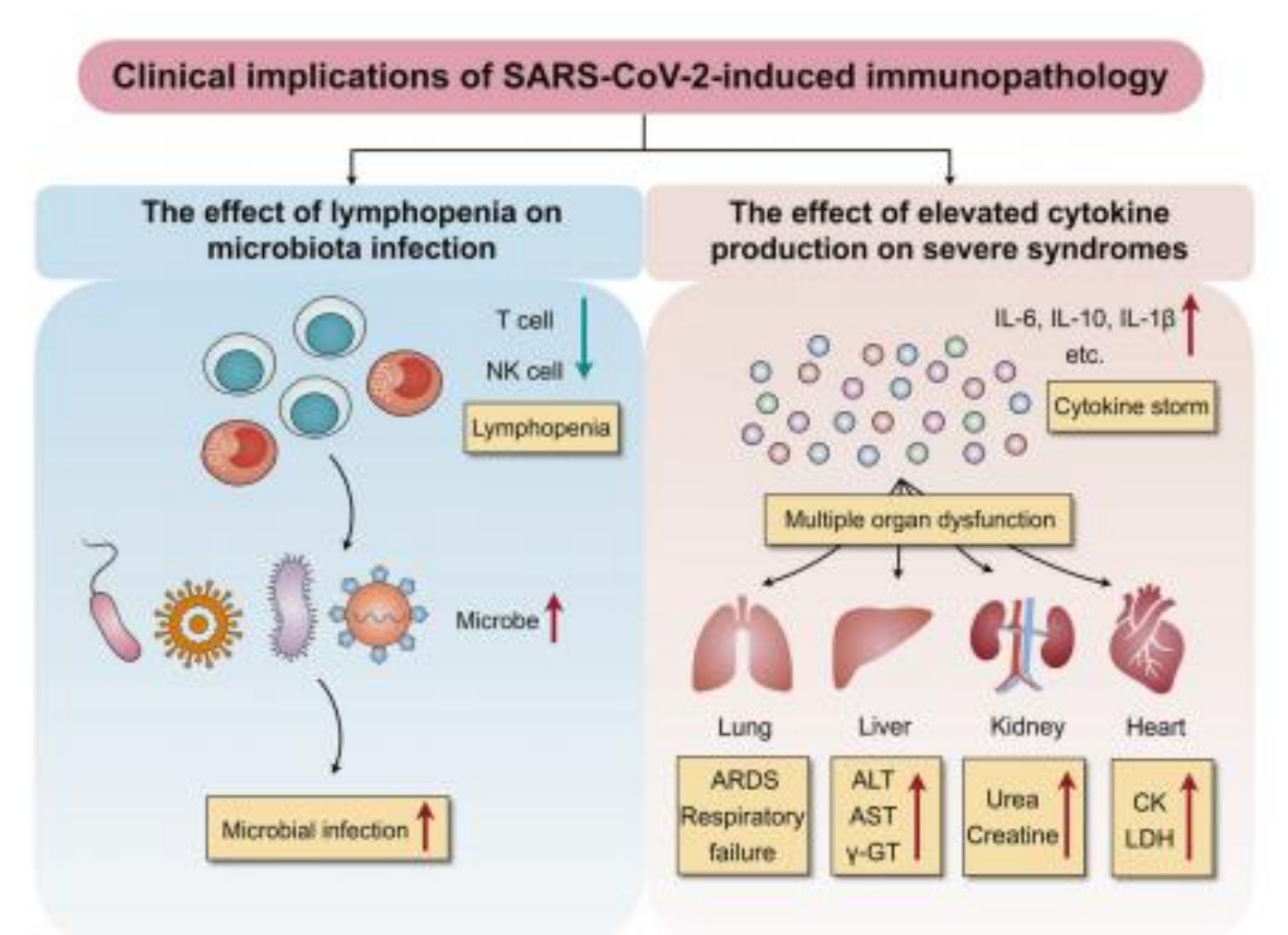


Иммунный ответ у выживших и умерших пациентов с CoVID-19





Клинические проявления иммунопатологии при SARS-CoV-2





on admission, n/N (%)

Лабораторные изменения при COVID-19

Normal range	All natients (n = 21)	Severe rases (n = 11)	Moderate rases $(n = 10)$	P value
3.5-9.5	5.7 (4.6-8.3)	8.3 (6.2-10.4)	4.5 (3.9-5.5)	0.003
	3 (14.3%)	0 (0.0%)	3 (30.0%)	0.017
	15 (71.4%)	8 (72.7%)	7 (70.0%)	
	3 (14.3%)	3 (27.3%)	0 (0.0%)	
1.8-6.3	4.8 (2.8-6.9)	6.9 (4.9-9.1)	2.7 (2.1-3.7)	0.002
1.1-3.2	0.9 (0.7-1.1)	0.7 (0.5-0.9)	1.1 (1.0-1.2)	0.049
	9 (42.9%)	8 (72.7%)	1 (10.0%)	0.008
130-175	137.0 (127.0-147.0)	136.0 (125.5=144.5)	139.5 (132.8-146.0)	0.78
125-350	160.0 (137.0-189.0)	157.0 (134.0-184.5)	175.6 (148.3-194.0)	0.88
	1 (4.8%)	0 (0.0%)	1 (10.0%)	0.48
≤41	26.0 (16.0-42.0)	42.0 (32.5-50.0)	16.0 (13.3-21.8)	0.000
≤40	27.0 (21.0-47.0)	47.0 (28.0-74.5)	24.0 (21.5-26.5)	0.014
	6 (28.6%)	5 (45.5%)	0 (0.0%)	0.035
35.0-52.0	33.7 (29.6-37.4)	29.6 (28.6-33.0)	37.2 (35.8-38.8)	0.013
	8 (38.1%)	7 (63.6%)	1 (10.0%)	0.024
≤26	8.8 (6.8-10.3)	8.8 (7.9-10.5)	7.8 (6.4-9.5)	0.24
3.1-8.0	5.1 (4.1-6.4)	6.1 (5.2-9.1)	4.0 (3.4-4.8)	0.015
59-104	81.0 (67.0-85.0)	82.0 (67.5-91.5)	76.5 (63.3-81.0)	0.21
<190	73.0 (63.0=287.0)	214.0 (90.0=329.0)	64.0 (57.5-83.5)	0.16
135-225	336.0 (221.0-537.0)	537.0 (433.5-707.5)	224.0 (200.3-251.8)	0.001
	11 (52.4%)	10 (90.9%)	1 (10.0%)	0.000
11.5-14.5	13.7 (13.0-14.5)	14.3 (13.6-14.6)	13.4 (12.8-13.7)	0.15
29.0-42.0	39.4 (33.6-44.5)	33.7 (32.1-38.4)	44.0 (42.6-47.6)	0.002
< 0.5	0.5 (0.4-1.8)	2.6 (0.6-18.7)	0.3 (0.3-0.4)	0.029
0.02-0.05	0.11 (0.05-0.24)	0.18 (0.13-0.81)	0.05 (0.04-0.06)	0.059
	7/18 (38.9%)	0/10 (0.0%)	7/8 (87.5%)	0.002
	6/18 (33.3%)	6/10 (60.0%)	0/8 (0.0%)	
	2/18 (11.1%)	1/10 (10.0%)	1/8 (12.5%)	
	3/18 (16.7%)	3/10 (30.0%)	0/8 (0.0%)	
<1	108.4 (28.0-139.5)	139.4 (86.9-165.1)	22.0 (14.7-119.4)	0.003
	14/20 (70%)	11/11 (100.0)	3/9 (33.3%)	0.002
30-400	1424.6 (337.4-1780.3)	1598.2 (1424.6-2036.0)	337.4 (286.2-1275.4)	0.049
	12/19 (63.2%)	9/9 (100.0%)	3/10 (30.0%)	0.003
	3.5-9.5 1.8-6.3 1.1-3.2 130-175 125-350 ≤41 ≤40 35.0-52.0 ≤26 3.1-8.0 59-104 ≤190 135-225 11.5-14.5 29.0-42.0 <0.5 0.02-0.05	3.5-9.5 5.7 (4.6-8.3) 3 (14.3%) 15 (71.4%) 3 (14.3%) 1.8-6.3 4.8 (2.8-6.9) 1.1-3.2 0.9 (0.7-1.1) 9 (42.9%) 130-175 137.0 (127.0-147.0) 125-350 160.0 (137.0-189.0) 1 (4.8%) \$41 26.0 (16.0-42.0) \$40 27.0 (21.0-47.0) 6 (28.6%) 35.0-52.0 33.7 (29.6-37.4) 8 (38.1%) \$26 8.8 (6.8-10.3) 3.1-8.0 5.1 (4.1-6.4) 59-104 81.0 (67.0-85.0) \$190 73.0 (63.0-287.0) 135-225 336.0 (221.0-537.0) 11 (52.4%) 11.5-14.5 13.7 (13.0-14.5) 29.0-42.0 39.4 (33.6-44.5) < 0.5 0.5 (0.4-1.8) 0.02-0.05 0.11 (0.05-0.24) 7/18 (38.9%) 6/18 (33.3%) 2/18 (11.1%) 3/18 (16.7%) < 1 108.4 (28.0-139.5) 14/20 (70%) 30-400 1424.6 (337.4-1780.3)	3.5-9.5	3.5-9.5

J Clin Invest. 2020. https://doi.org/10.1172/JCI137244.



Больной ПА. Дата поступления в стационар: 12.10.2020 21:09 Дата выписки из стационара: 26.10.2020 14:29

Основной диагноз: 1107.1 Коронавирусная инфекция, вызванная вирусом COVID-19, вирус идентифицирован (Мазок/отделяемое из носоглотки и ротоглотки Исследование выполнено по пробе 2020-10-12 ОБНАРУЖЕНО)

Компьютерная томография органов грудной полости.

<u>12.10.2020 23:26</u> Полисегментарно, с обеих сторон, отмечены отдельные и преимущественно сливные участки инфильтрации по типу гомогенно и неоднородного «матового стекла» с ретикулярными изменениями разной выраженности и тяжистыми консолидациями. Объем поражения легочной ткани: справа до 30%, слева до 10% КТ2

<u>16.10.2020 13:37</u>: В сравнении с данными от 12.10.2020г отмечается выраженная отрицательная динамика увеличения протяженности сливных участков ретикулярно-измененного матового стекла, типа плотной булыжной мостовой с дольковыми и субсегментарными участками консолидации, занимающих до 75% паренхимы легких. КТ4

20.10.2020 15:20: В сравнении с данными от 16.10.2020г отмечается умеренная положительная динамика изменения плотности зон инфильтрации в рамках течения вирусной пневмония (частичное диффузное уплотнение зон по типу матового стекла гомогенной структуры и с малыми ретикулярными изменениями, за счет нарастания ретикулярных изменений с формированием тяжистых консолидаций; диффузное снижение плотности зон по типу матового стекла с выраженными ретикулярными изменениями / консолидациями в структуре, за счет регресса ретикулярного паттерна) с минимальным уменьшением размеров отдельных зон, без появления новых участок инфильтрации. Объем пораженной паренхимы правого легкого до 70%, левого легкого до 75%. КТЗ 24.10.2020 07:33 В сравнении с данными КТ ОГК от 20.10.2020г отмечается выраженная положительная динамика за счет уменьшения размеров и протяженности ранее выявленных воспалительных инфильтратов, с частичным регрессом ретикулярных изменений и

Объем пораженной паренхимы правого легкого до 60%, левого легкого до 65%. КТЗ

Медикаментозное лечение

уплотнением структуры отдельных участков.

Парацетамол 1000 мг. В/В, Симптоматически, постоянно, дата начала курса: 13.10.2020

Ацетилцистеин 600 мг. перорально., 1 раз в сутки утром, постоянно, дата начала курса:13.10.2020 **Ривароксабан** 20 мг. перорально, 1 раз в сутки утром, постоянно, дата начала курса:13.10.2020

Омепразол 20 мг.перорально. Перорально, 2 раза в сутки утром, вечером, постоянно, дата начала

курса: 13.10.2020

Фавипиравир 800 мг.перорально. Перорально, 2 раза в сутки утром, вечером., 15.10.2020-23.10.2020

Левилимаб 324 мг.трансдермально. Подкожно, однократно, 16:00 ч., 1 дн., дата начала курса: 16.10.2020

Дексаметазон 8 мг. **Натрия хлорид** 500 мл. В/В, 1 раз в сутки утром, 3 дн., 21.10.2020-23.10.2020

Кровь, цельная (сыворотка)

Исследование выполнено 2020-10-12

пСоV IgM: 0.27 (<2) пСоV IgG: 0.86 (<10);

Кровь, цельная (сыворотка)

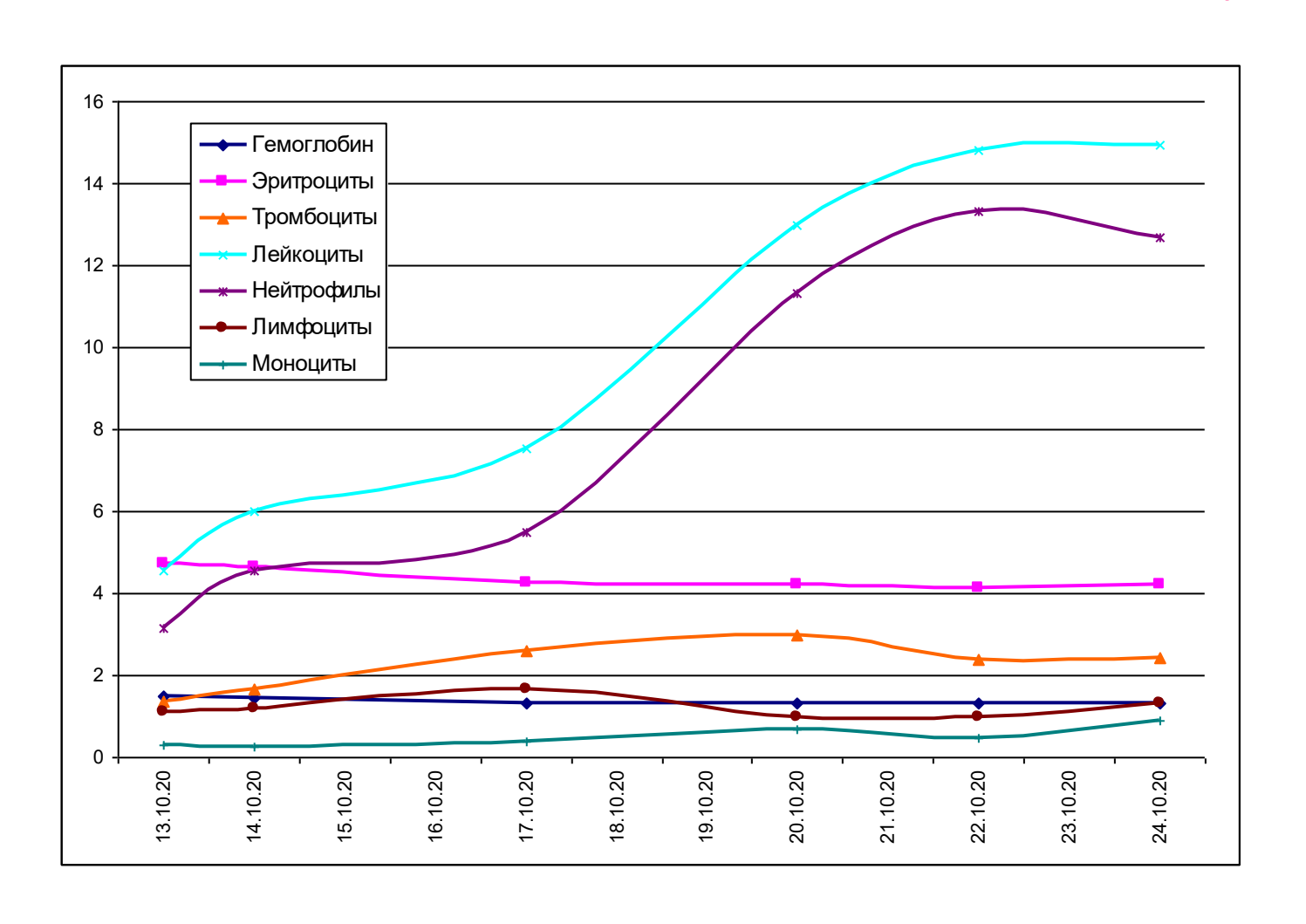
Исследование выполнено 2020-10-25

пСоV IgM: 28.62 (<2) пСоV IgG: 116.36 (<10)

Мазок/отделяемое из носоглотки и ротоглотки. Исследование выполнено 2020-10-14 Не обнаружено

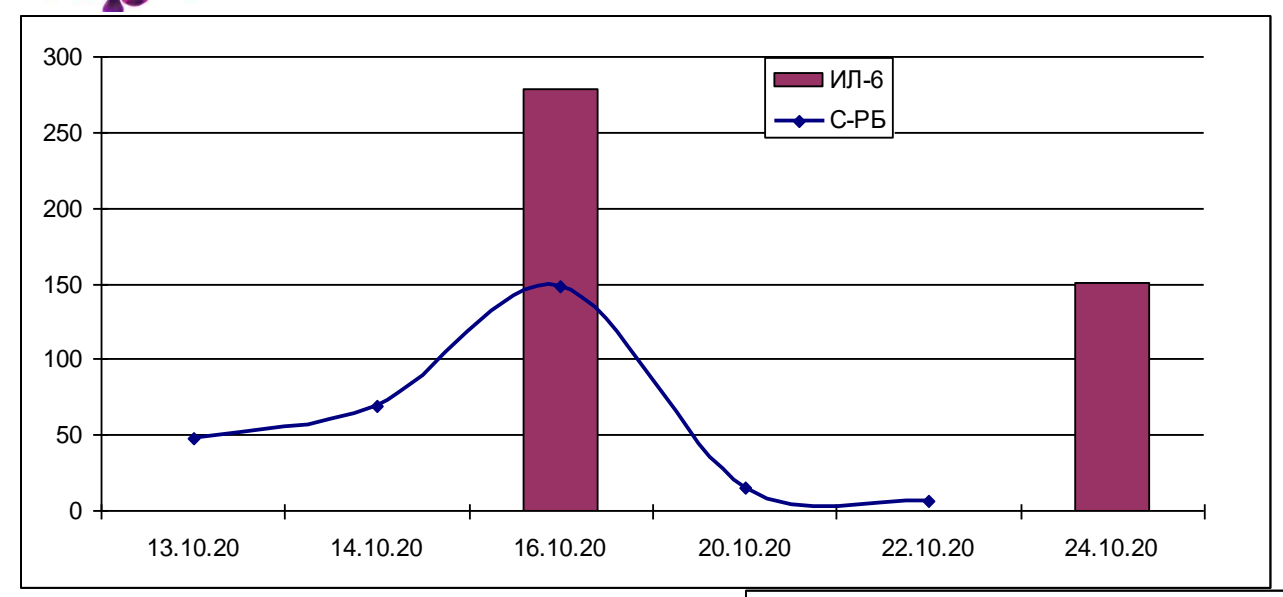


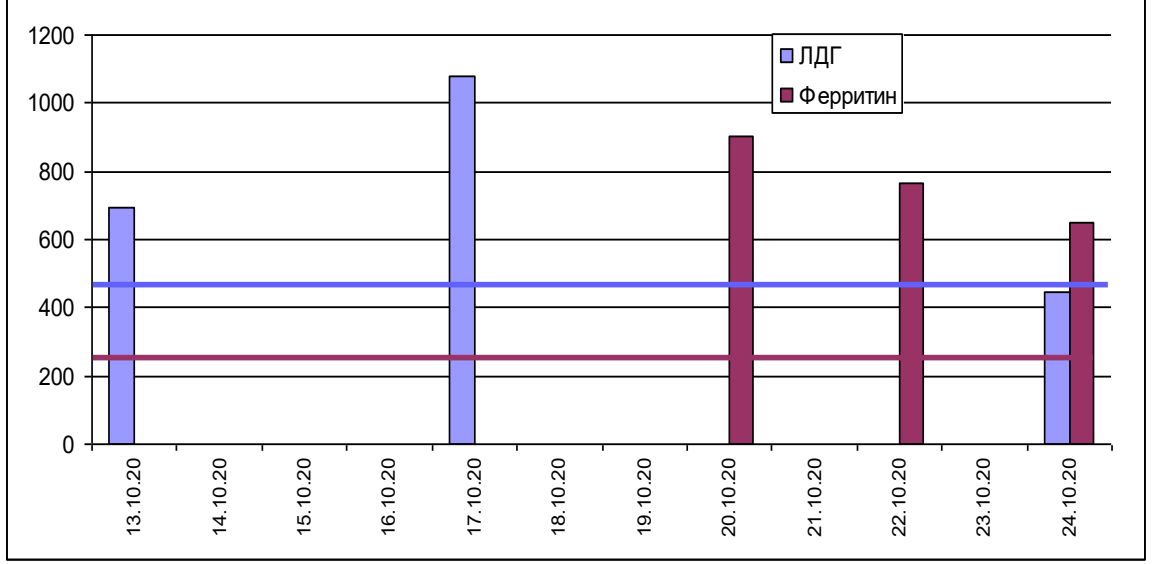
Изменение параметров клинического анализа крови





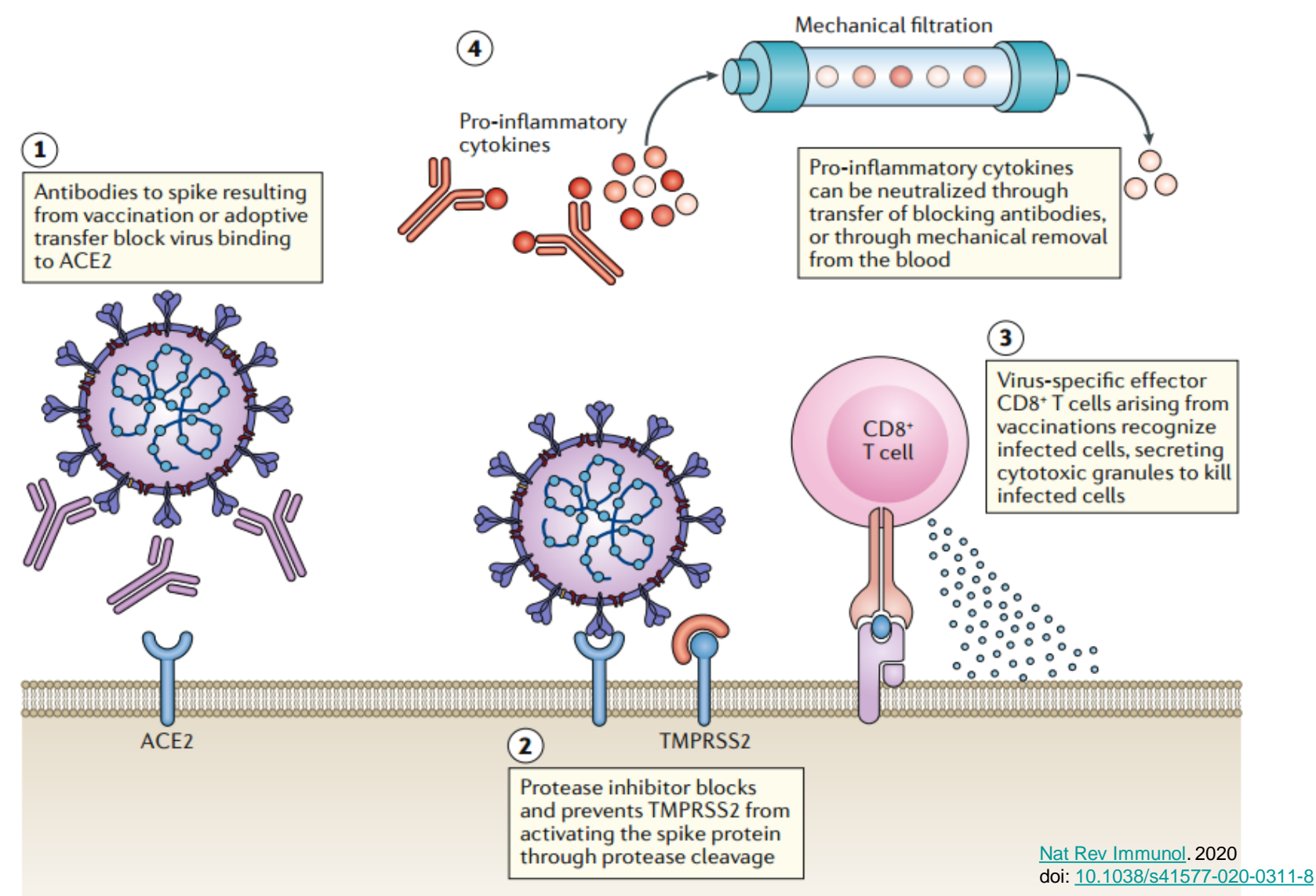
Маркеры воспаления





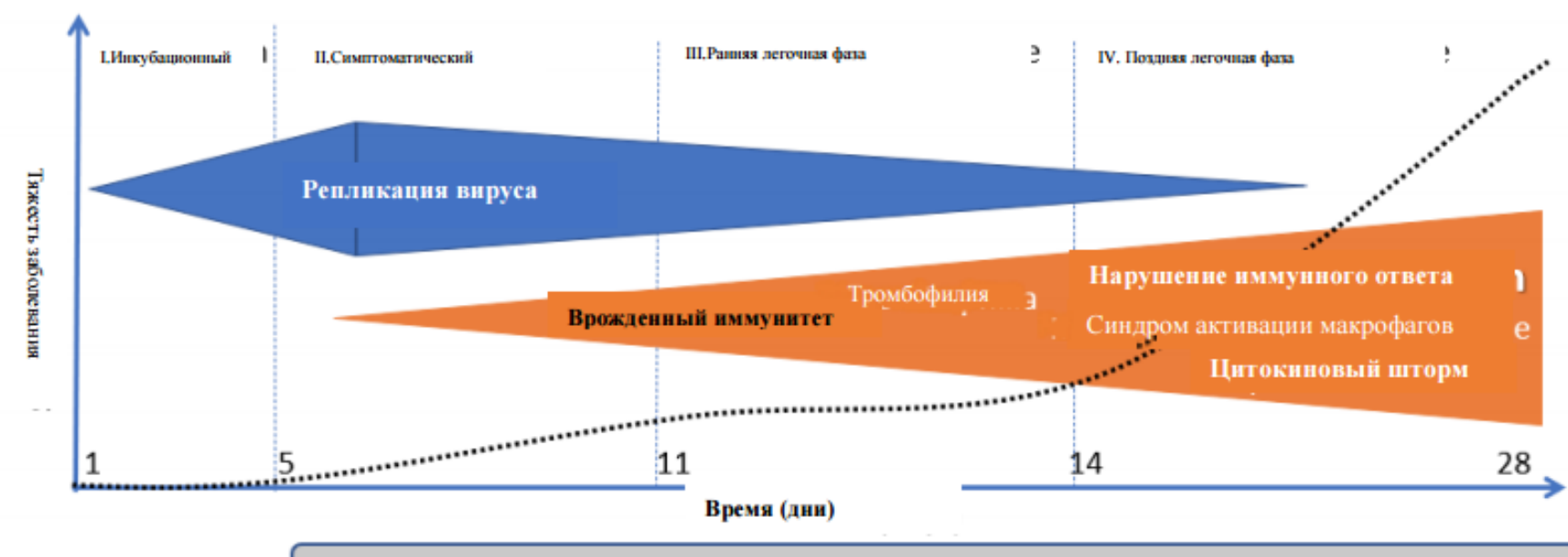


Потенциальные терапевтические подходы против SARS-CoV-2.

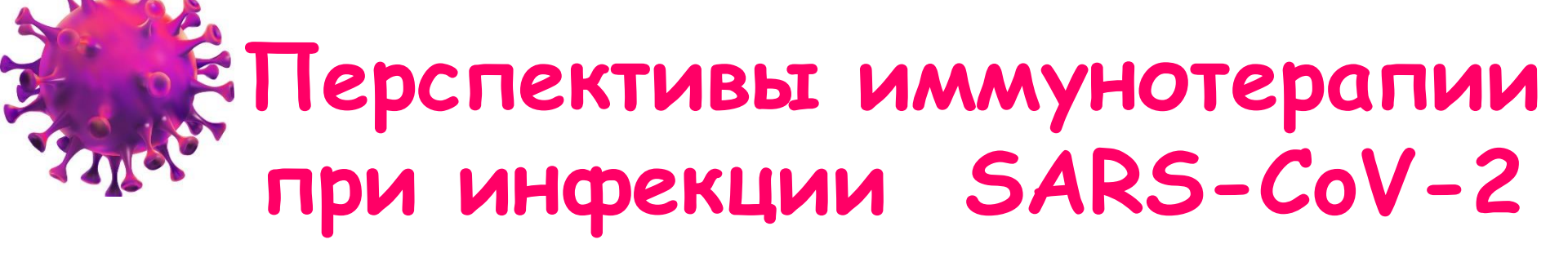




Поэтапное лечение (США)

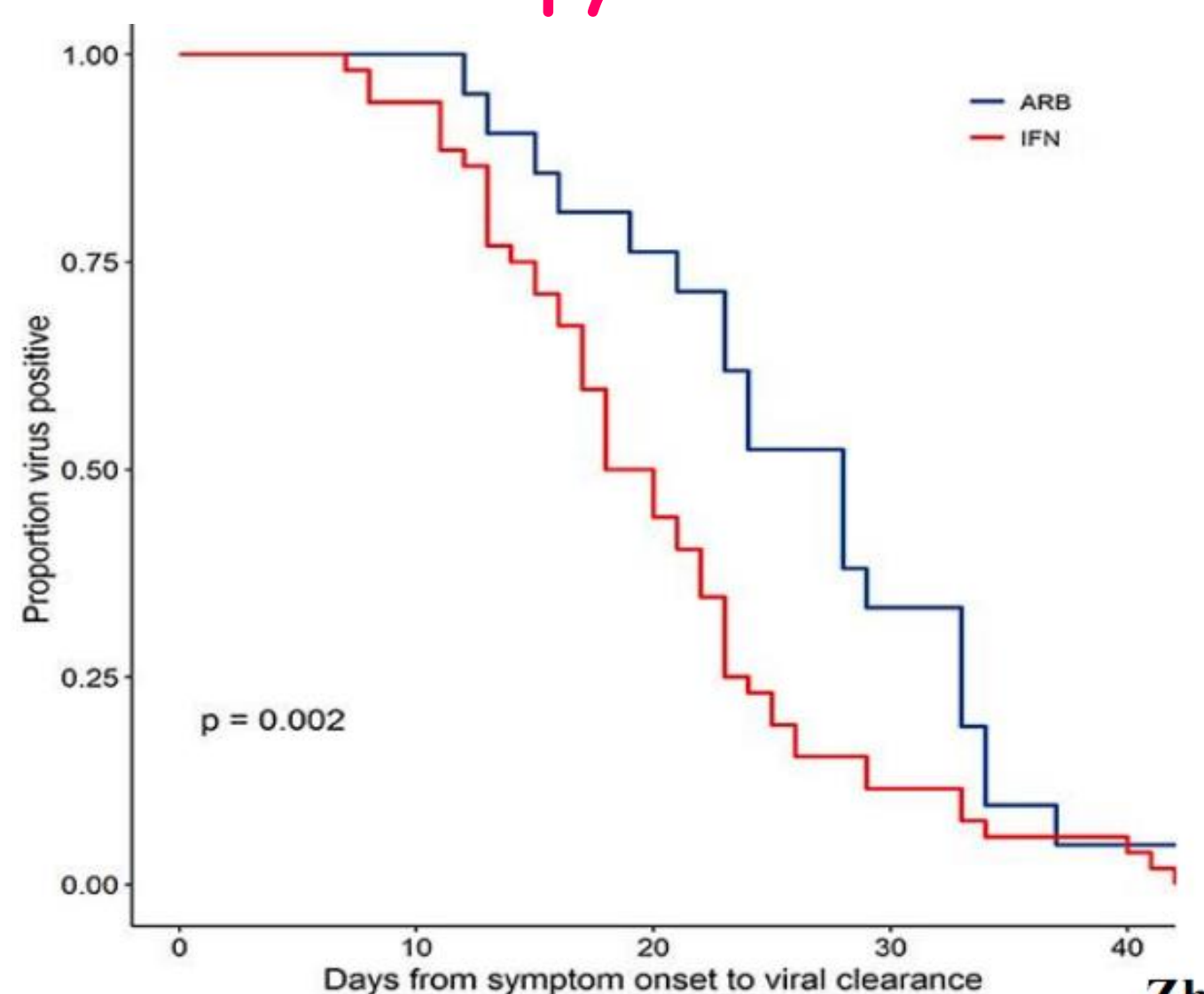






- Лечение препаратами интерферона альфа в начальной стадии инфекционного процесса.
- Применение антицитокиновой терапии при развитии пневмонии и цитокинового шторма.
- Пассивная иммунизация с использованием плазмы крови переболевших пациентов, препаратов терапевтических МАТ и химерных рецепторов.
- Профилактическая вакцинация.

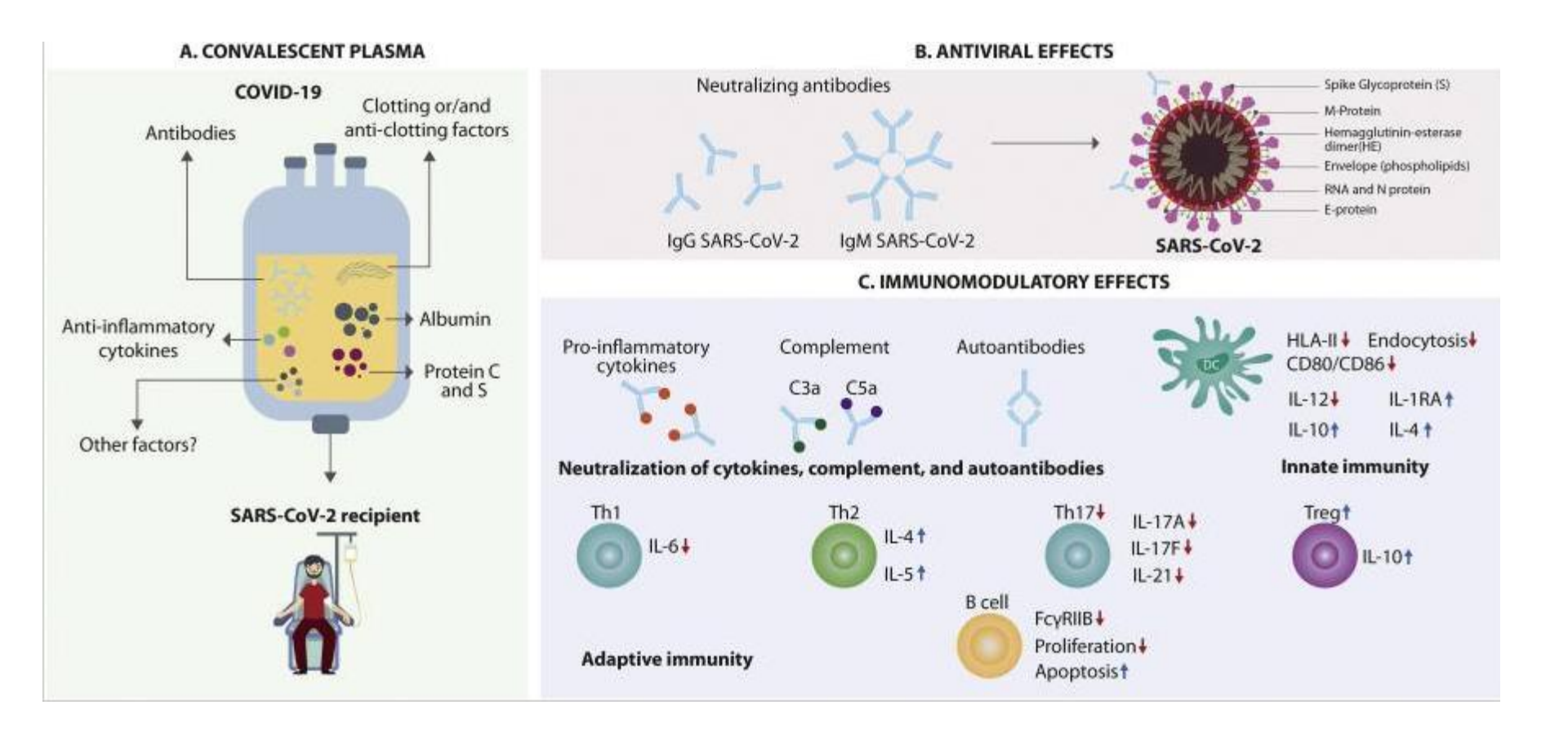
Печение препаратом рекомбинантного IFN-a2b ускоряет освобождение от вируса SARS-CoV-2



Zhou e.a., 2020

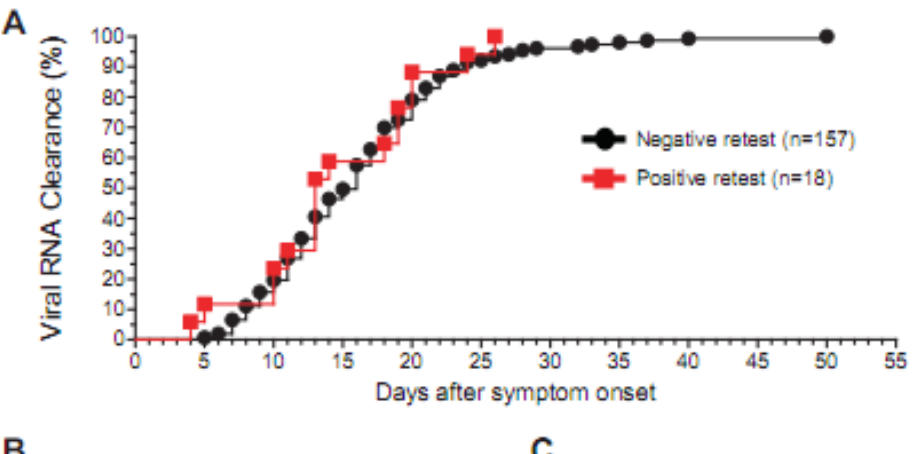


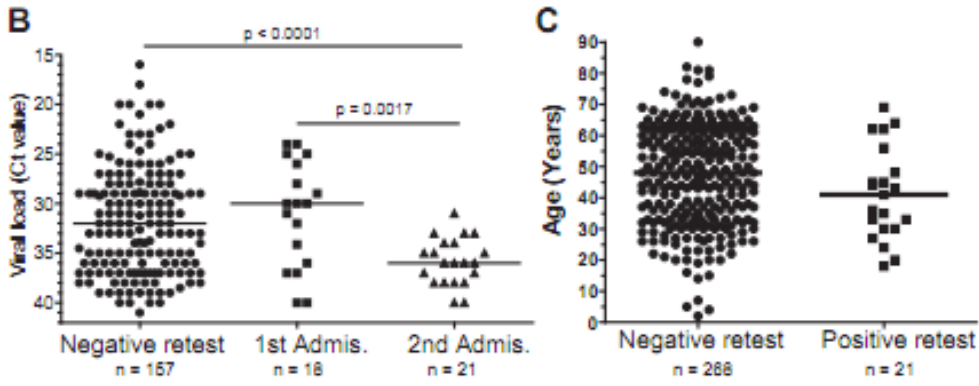
Переливание плазмы крови от выздоровевших пациентов

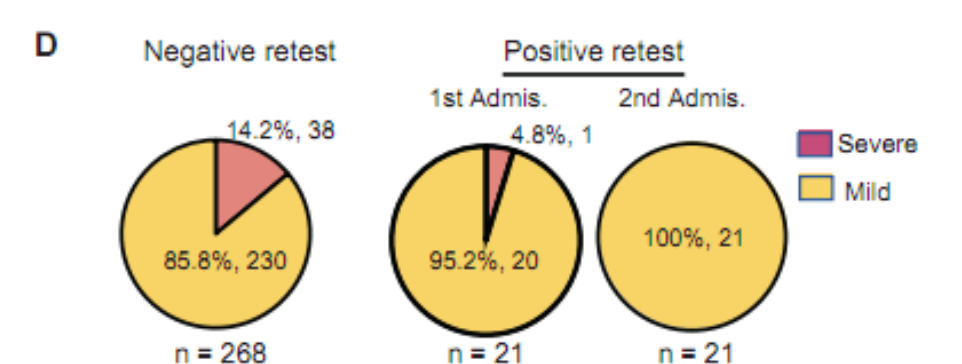




Можно ли заболеть повторно?

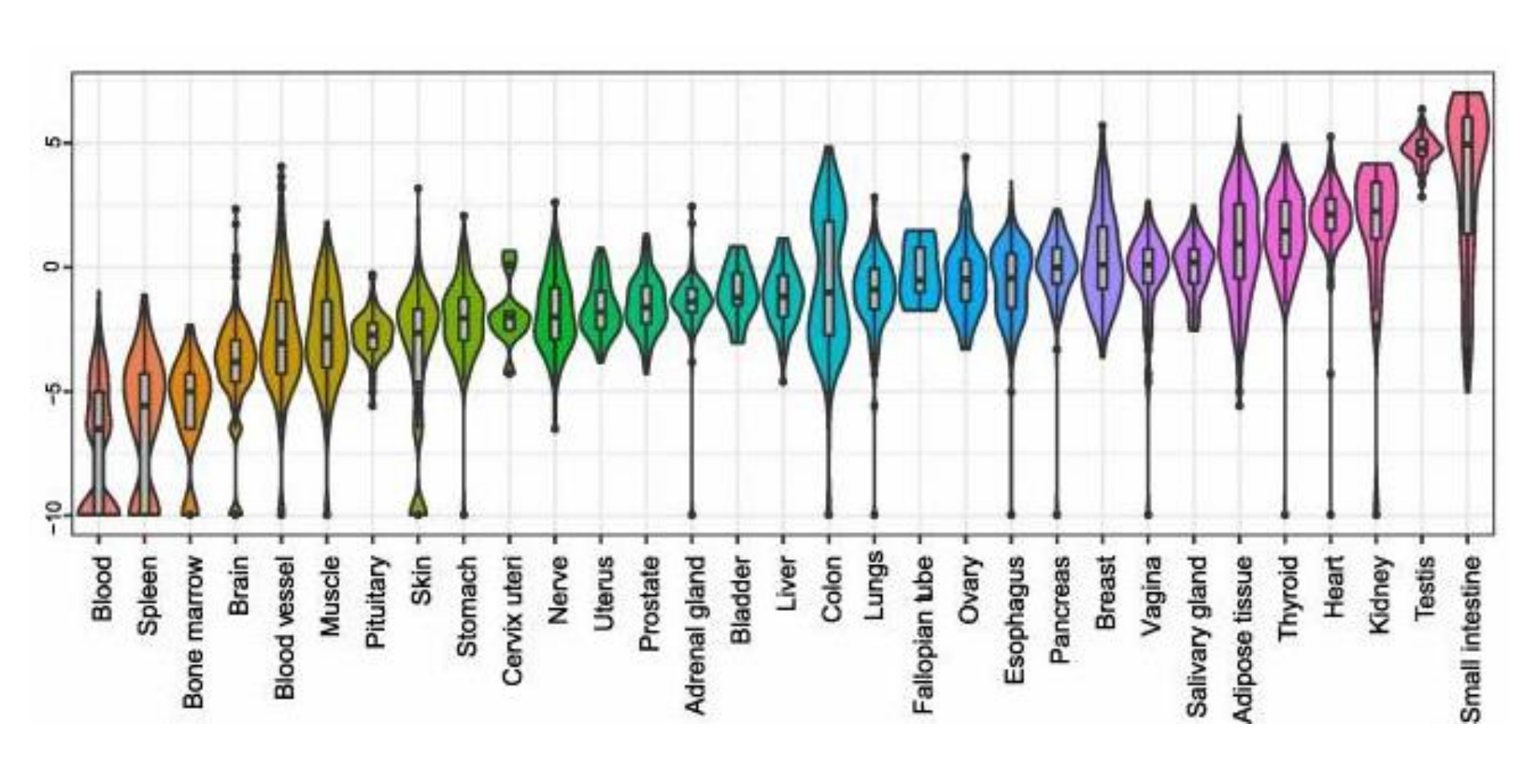






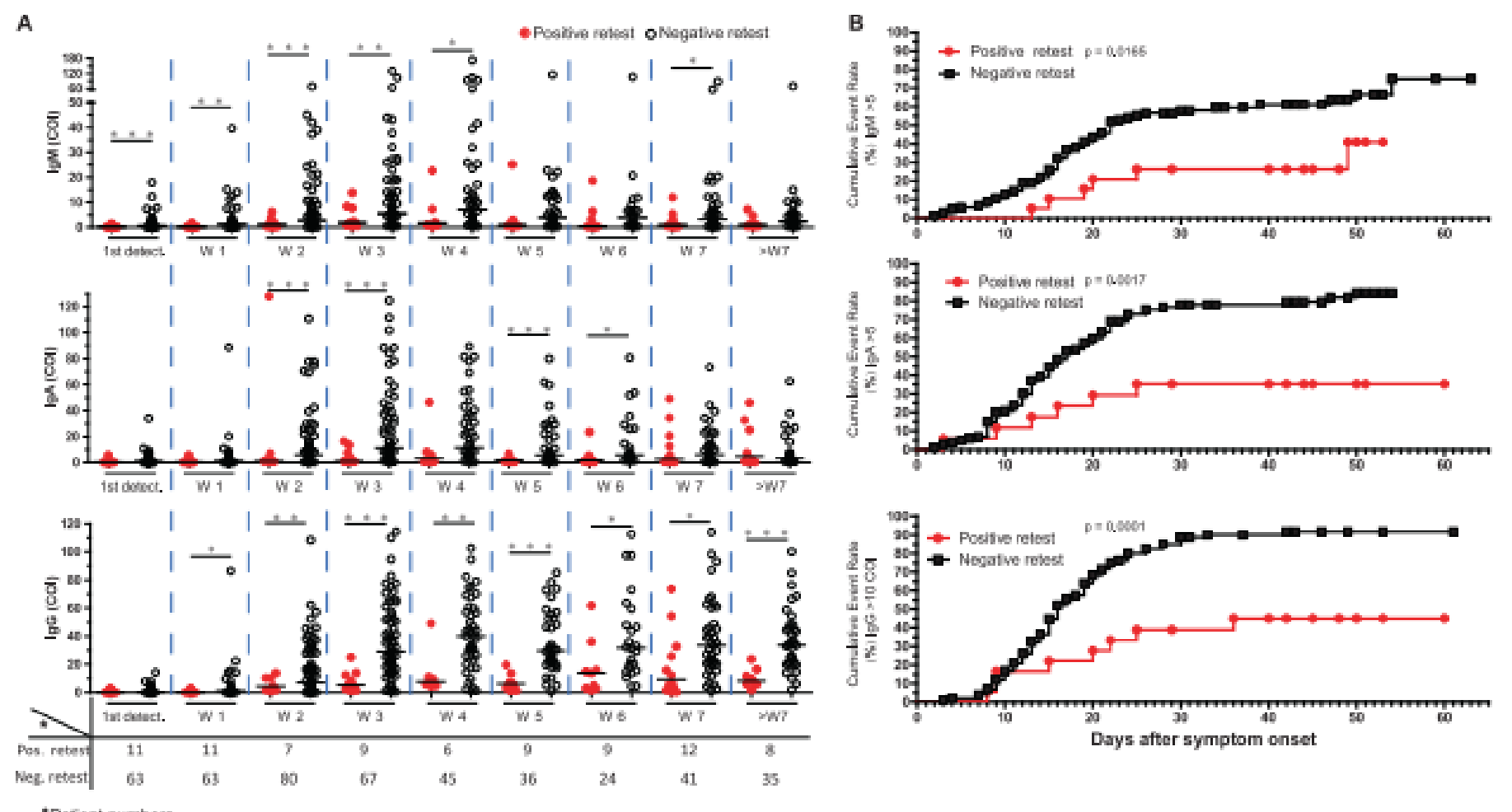


Экспрессия АСЕ2 в тканях организма

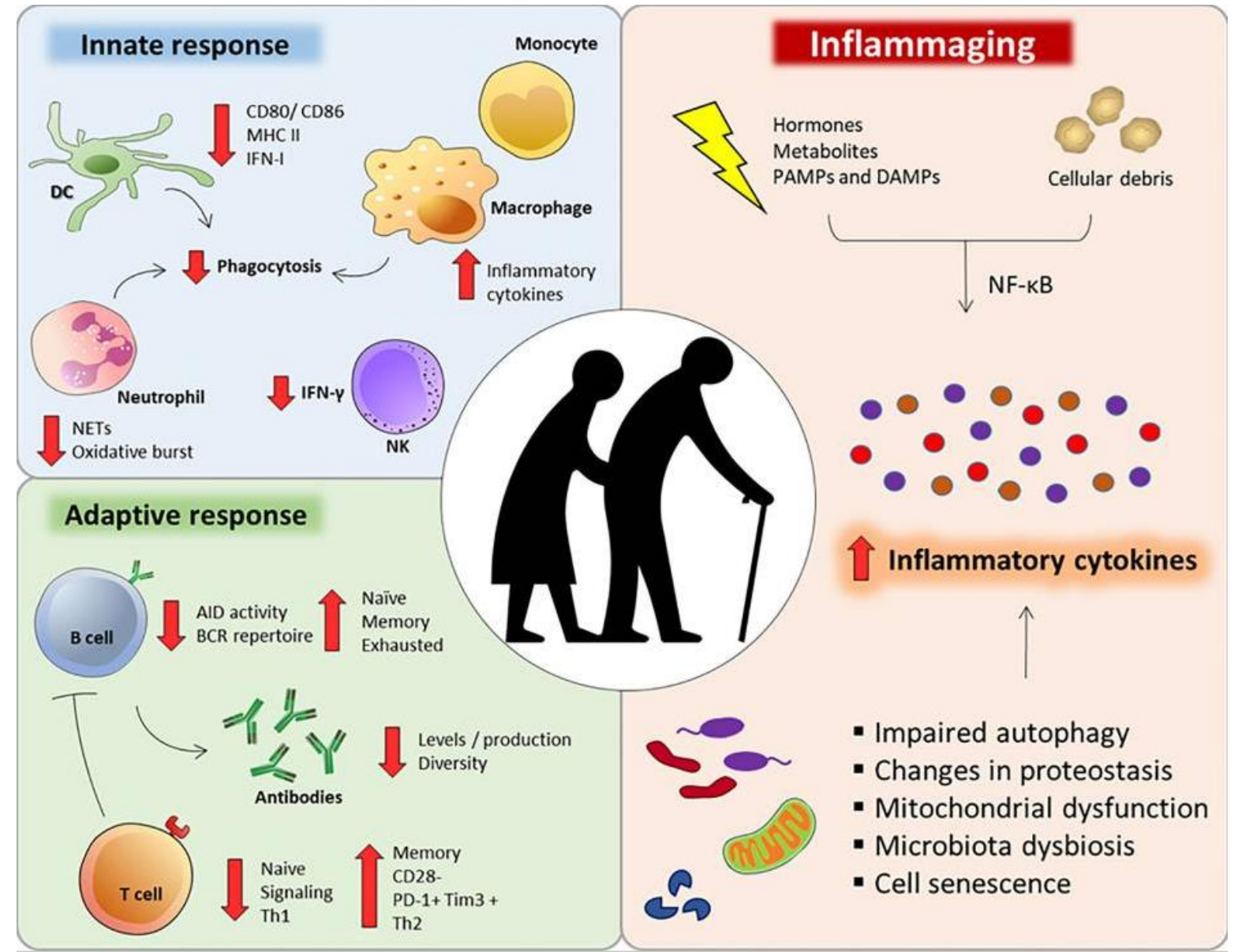




Можно ли заболеть повторно?



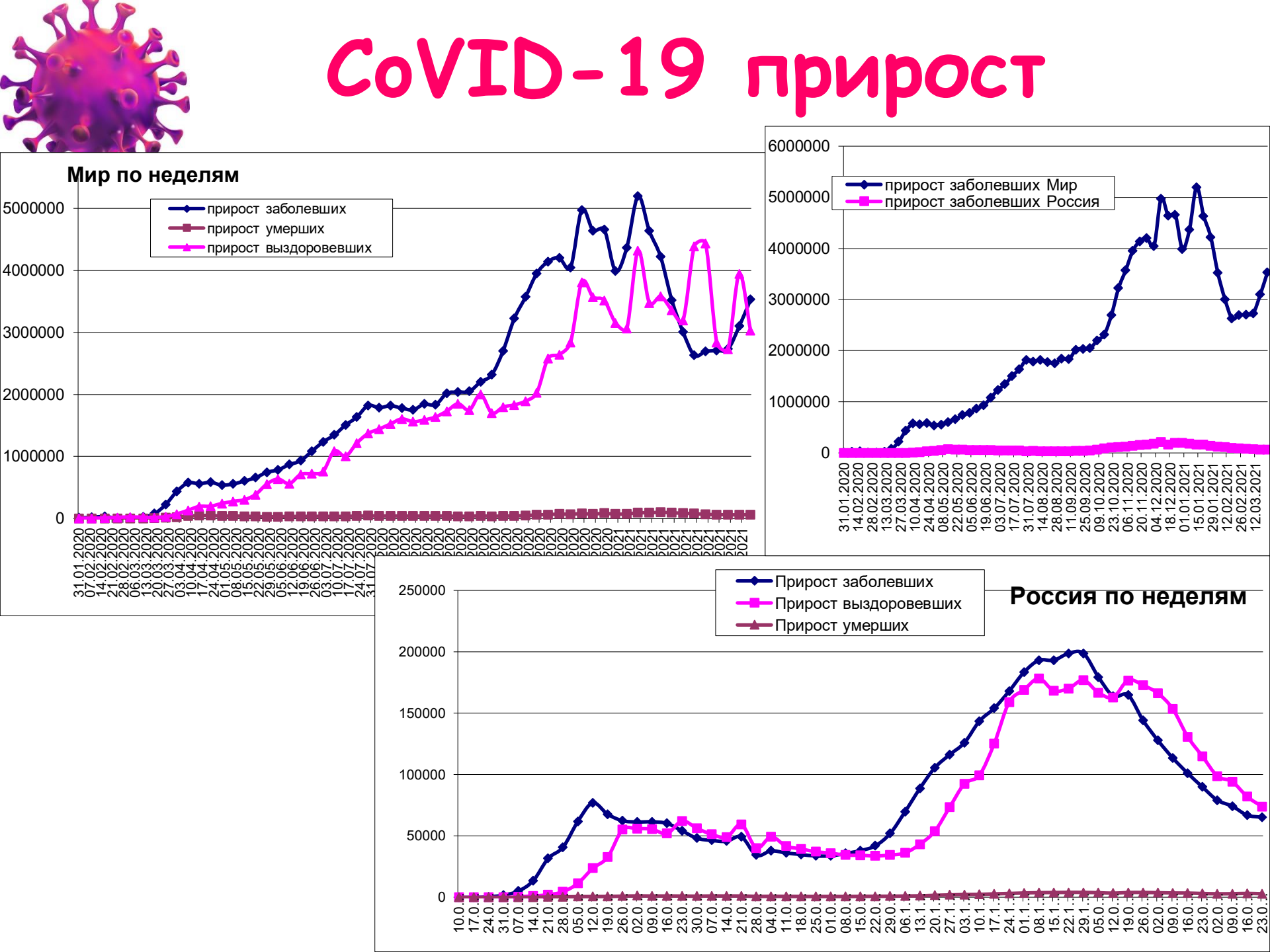
Возрастные особенности иммунитета





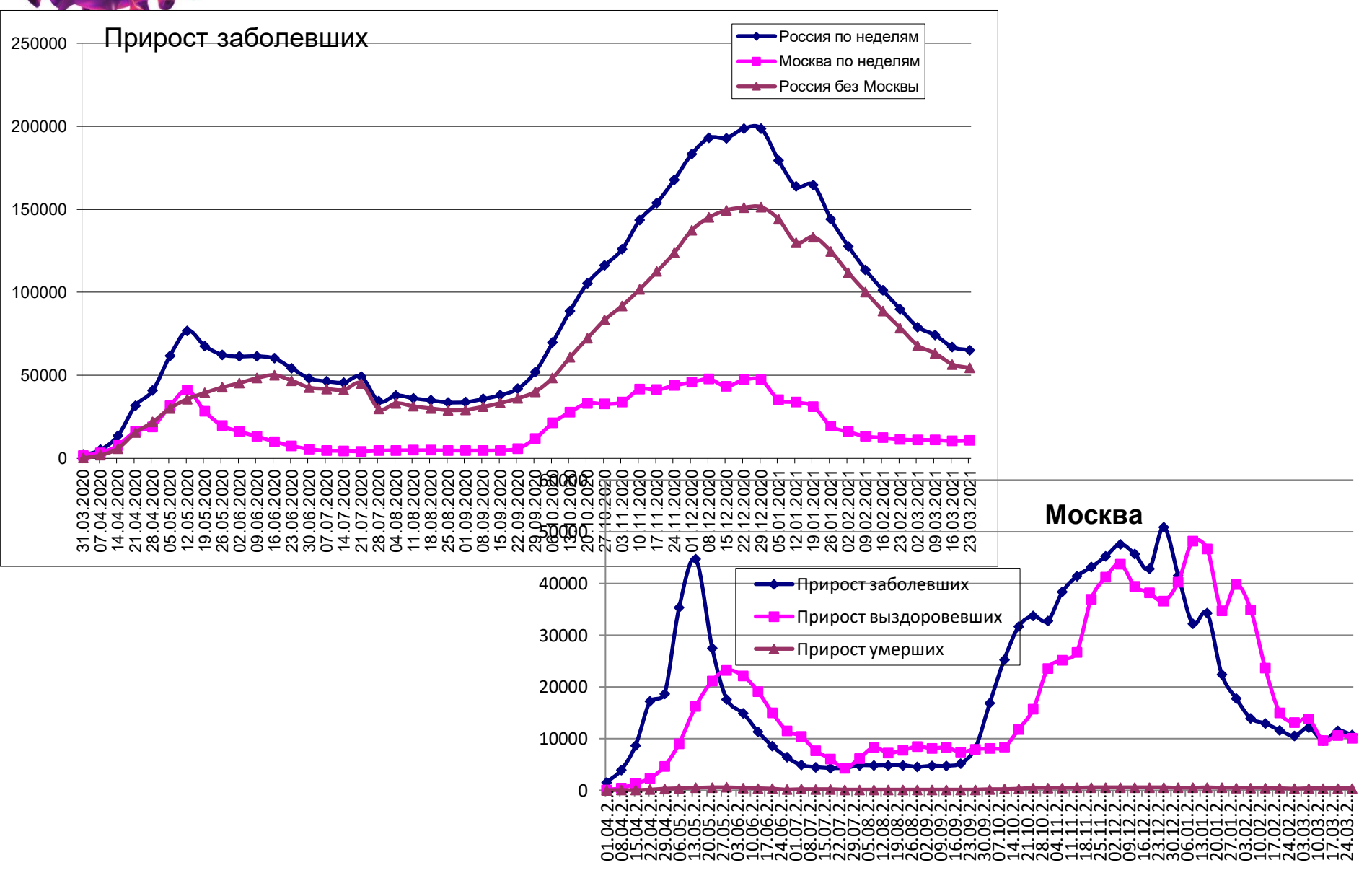
Взаимное влияние CoVID-19 и заболеваний иммунной системы

Аутоиммунная патология	Утяжеляет течение CoVID-19. Повышена вероятность возникновения аутоиммунной патологии после CoVID-19. Вероятен цитокиновый шторм. Необходимо использовать антицитокиновую терапию.
Аллергия (Бронхиальная астма)	Более легкое течение CoVID-19. Th2 тип реакции не дает цитокинового шторма. ACE2 меньше экспрессирован в легких при БА. Необходимо использовать специфическую противовирусную терапию. Возможно плазму реконвалесцентов.
Первичные иммунодефициты	Не дают цитокинового шторма, но сами не могут справиться с инфекцией. Необходимо использовать специфическую противовирусную терапию и плазму реконвалесцентов.
Онкология	Более легкое течение CoVID-19 из-за угнетенного иммунитета и иммуносупрессивной терапии. Не дают цитокинового шторма. Необходимо использовать специфическую противовирусную терапию и плазму реконвалесцентов.
Лимфопролифера- тивные заболевания	Не дают цитокинового шторма, но сами могут не справиться с инфекцией из-за иммуносупрессивной терапии и дисбаланса в иммунитете. Необходимо использовать специфическую противовирусную терапию. Возможно плазму реконвалесцентов. Возможно повторное заражение CoVID-19.
Хронические инфекции	Есть данные, что больные герпесвирусными инфекциями легче болеют CoVID-19 (интерференция вирусов?), но маловероятно.





Прирост заболевших





Контрольные вопросы:

- 1. Какие белки вируса SARS-Cov-2 отвечают за связывание с рецептором клетки хозяина?
- 2. Какие коронавирусы, поражают человека?
- 3. Какая молекула клетки хозяина является рецептором для вируса SARS-Cov-2?
- 4. В каких органах отмечается высокая экспрессия АСЕ2?
- 5. Какова роль интерферона-α при COVID-19?
- 6. Что обуславливает различия в тяжести течения COVID-19?
- 7. Основные принципы иммунотерапии инфекции, вызванной SARS-CoV-2.
- 8. Основные принципы лечения COVID-19
- 9. Можно ли заболеть COVID-19 повторно?
- 10. Что такое цитокиновый шторм?

